

1/45

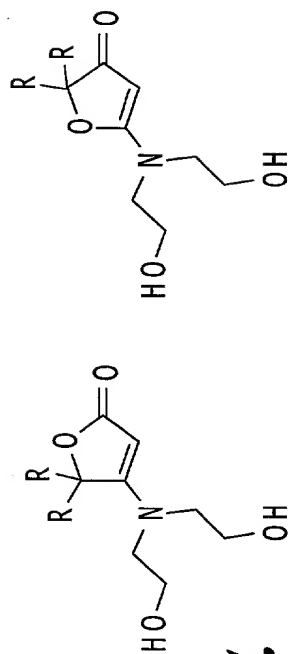


Fig. 1A.

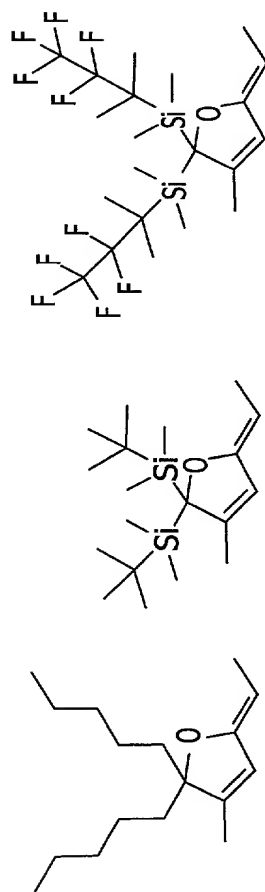


Fig. 1B.

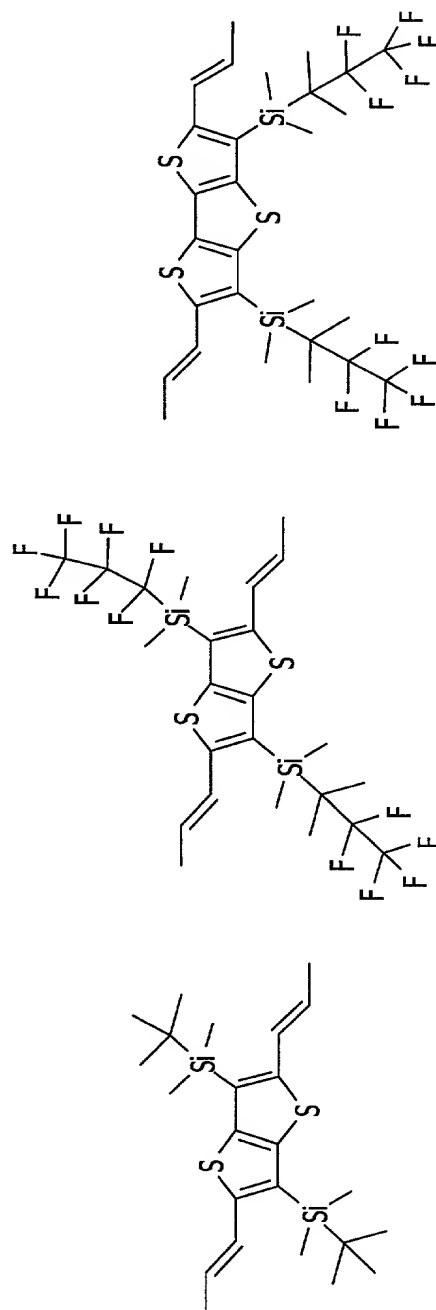


Fig. 1C.

2/45

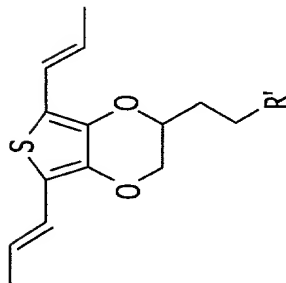
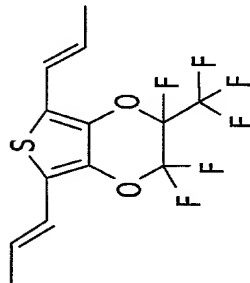
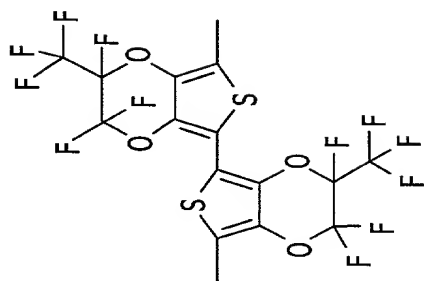


Fig. 1D.

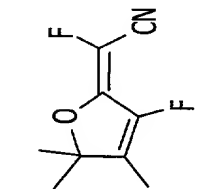
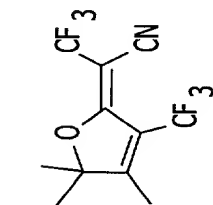
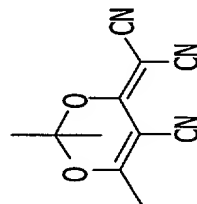
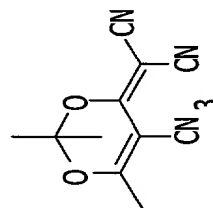
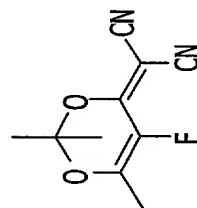


Fig. 1E.

3/45

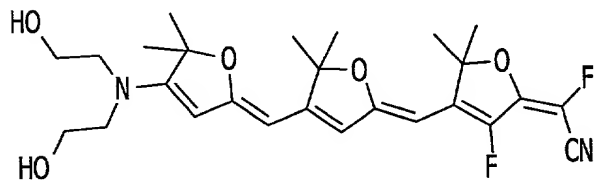


Fig. 2A.

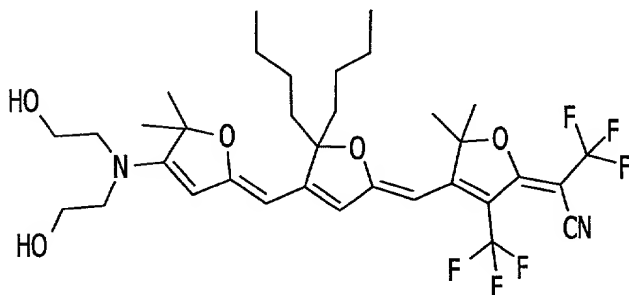


Fig. 2B.

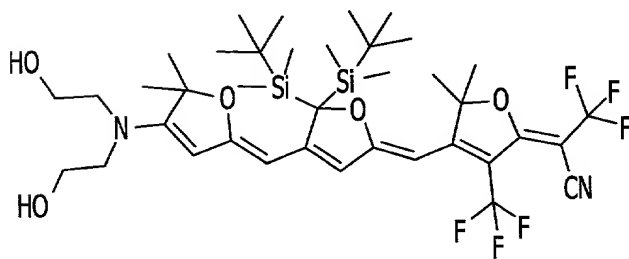


Fig. 2C.

4/45

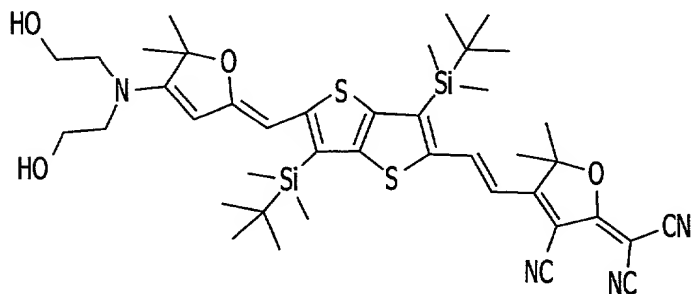


Fig. 2D.

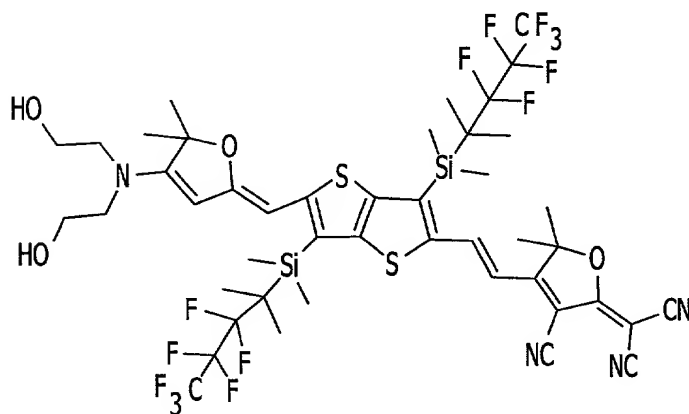


Fig. 2E.

205060 "44421650

5/45

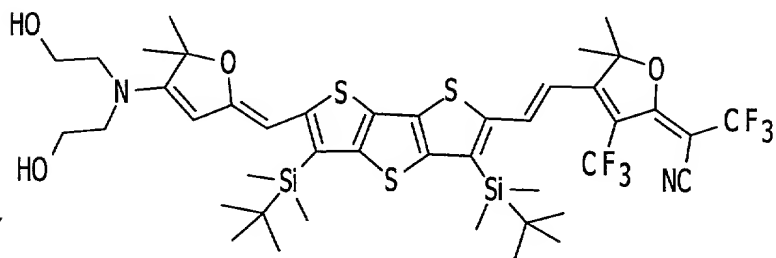


Fig. 2F.

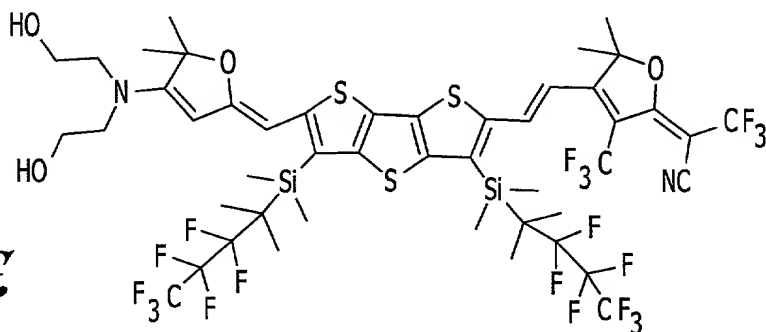


Fig. 2G.

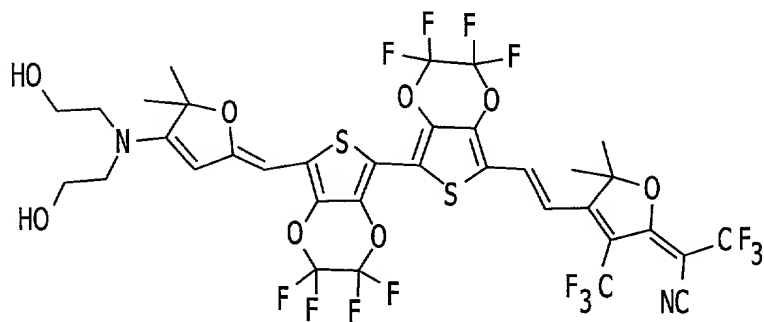


Fig. 2H.

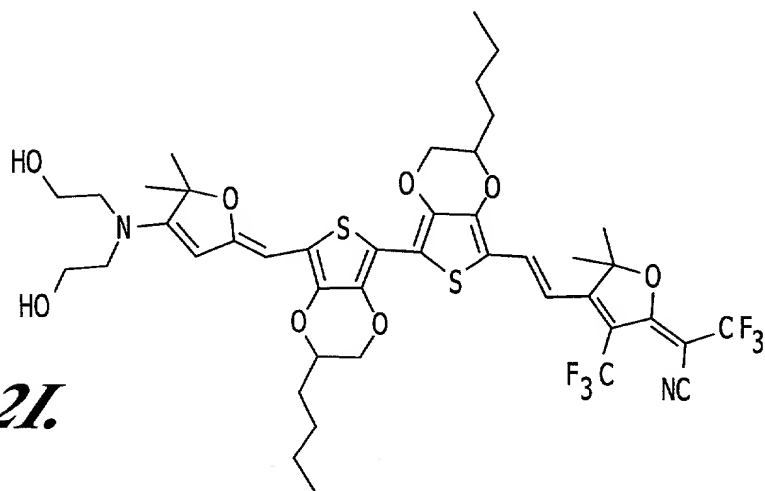


Fig. 2I.

6/45

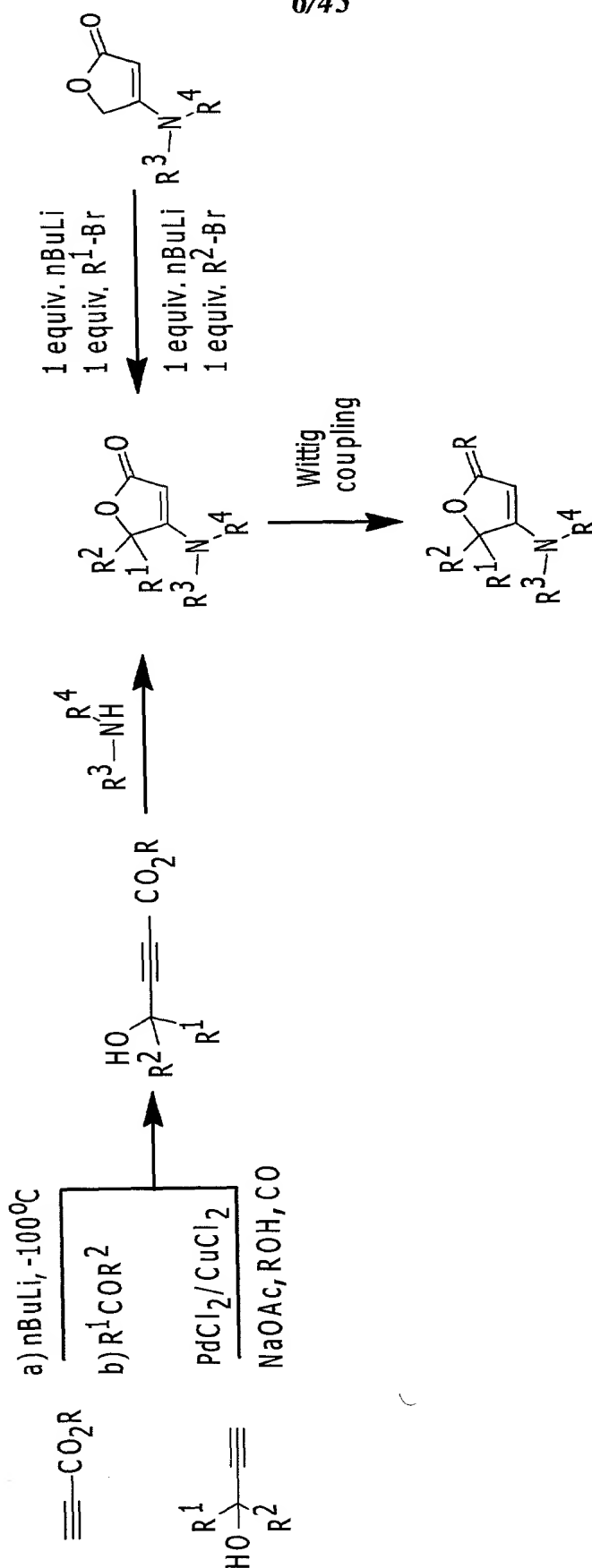


Fig. 3.

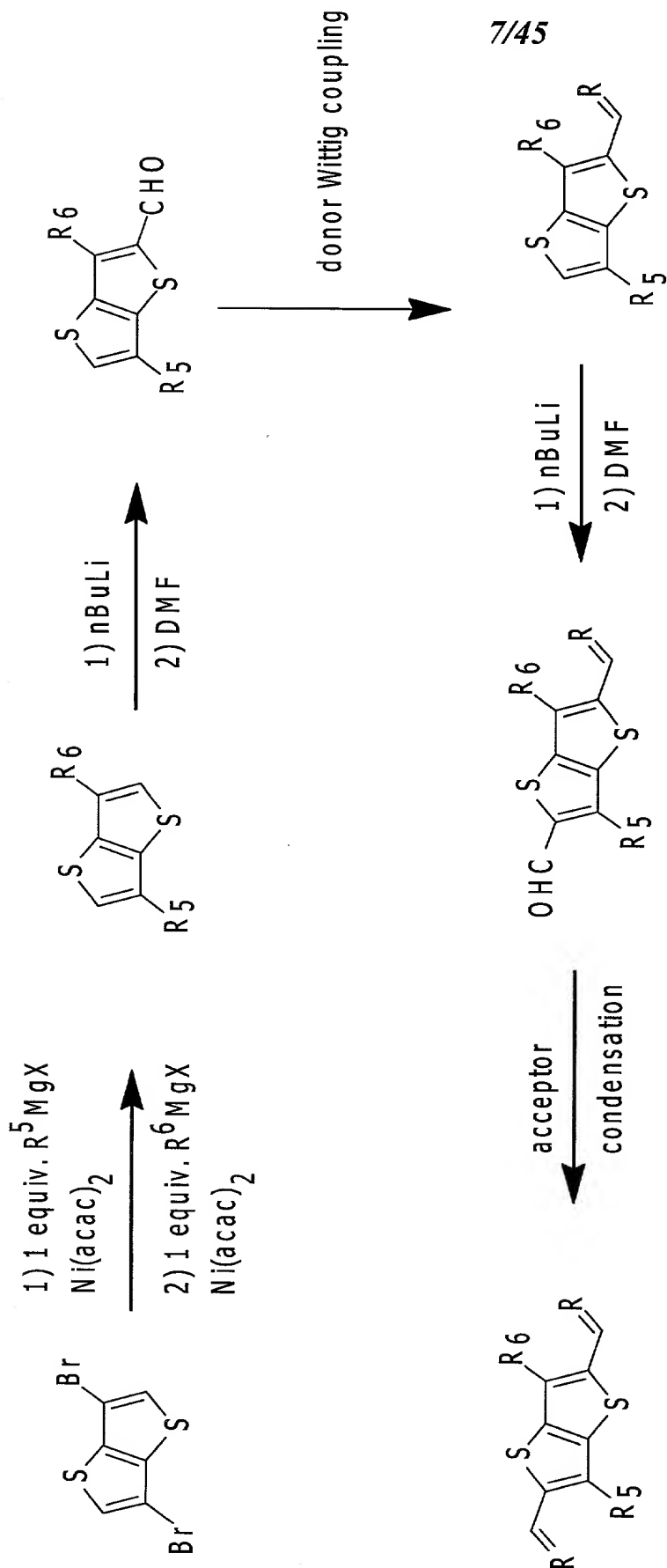


Fig. 4.

7/45

8/45

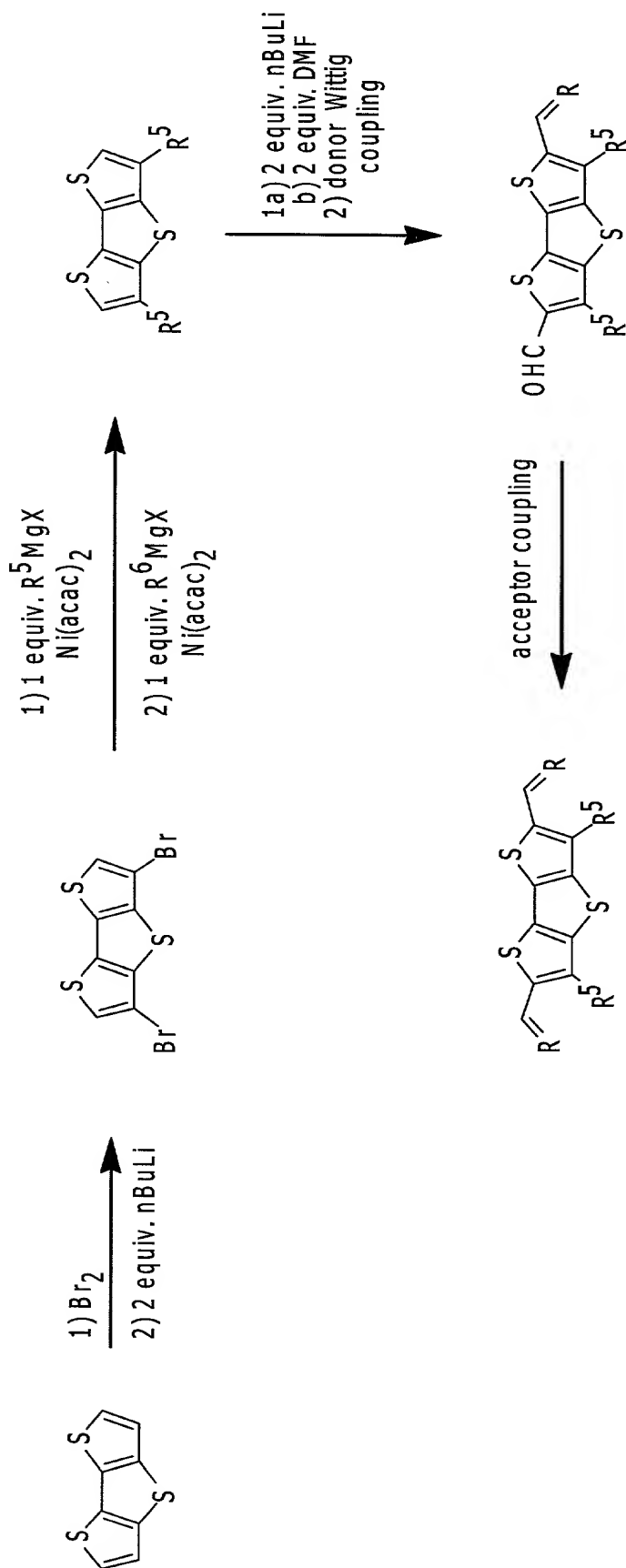


Fig. 5.

9/45

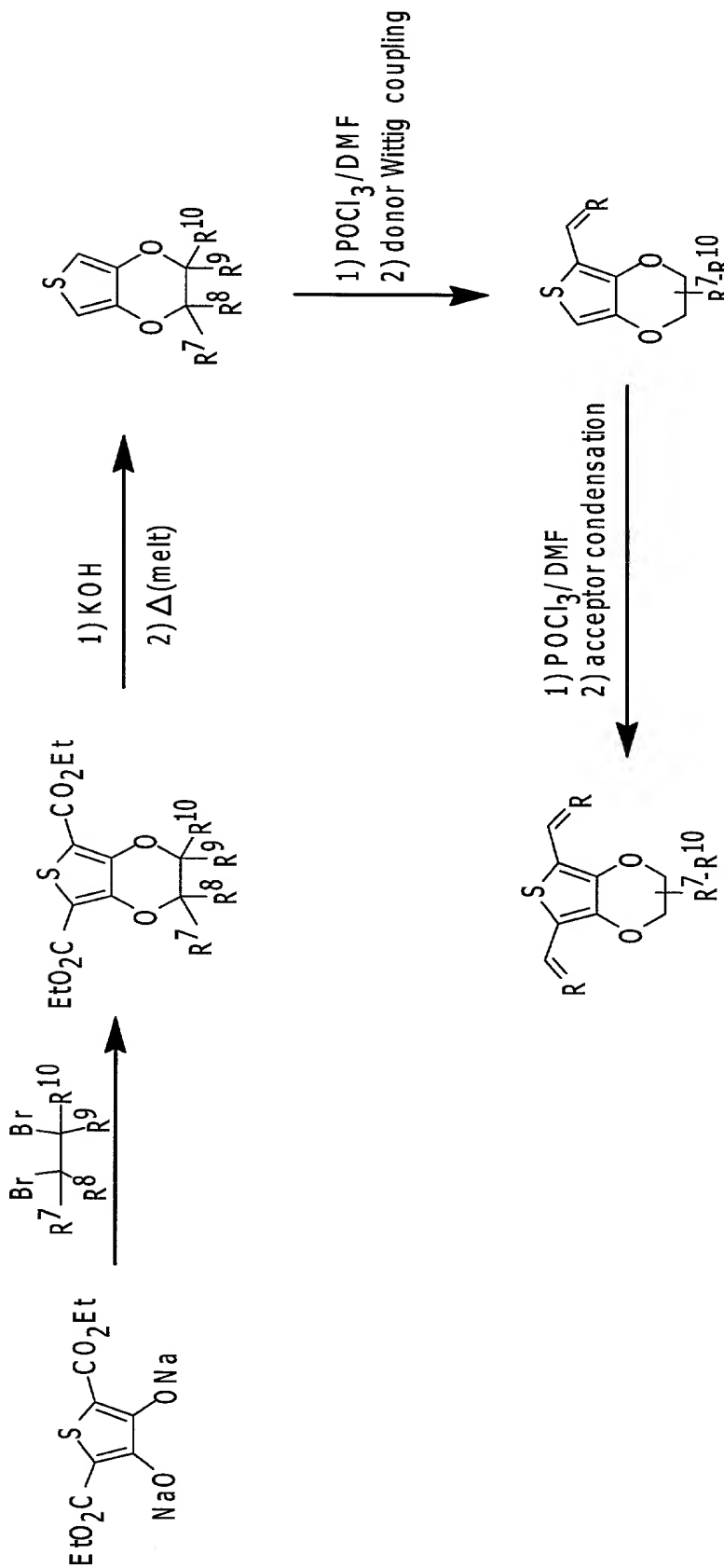


Fig. 6.

10/45

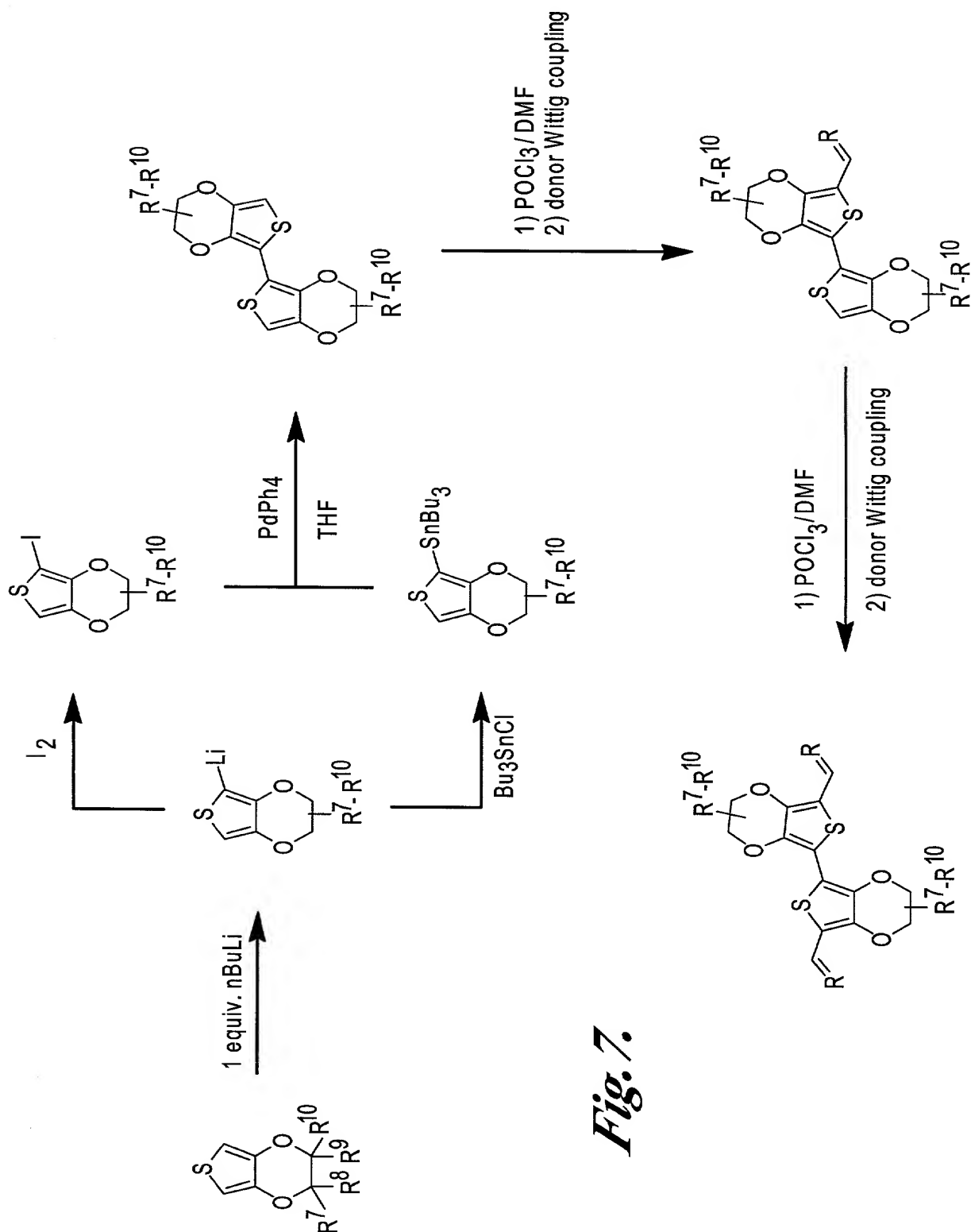


Fig. 7.

11/45

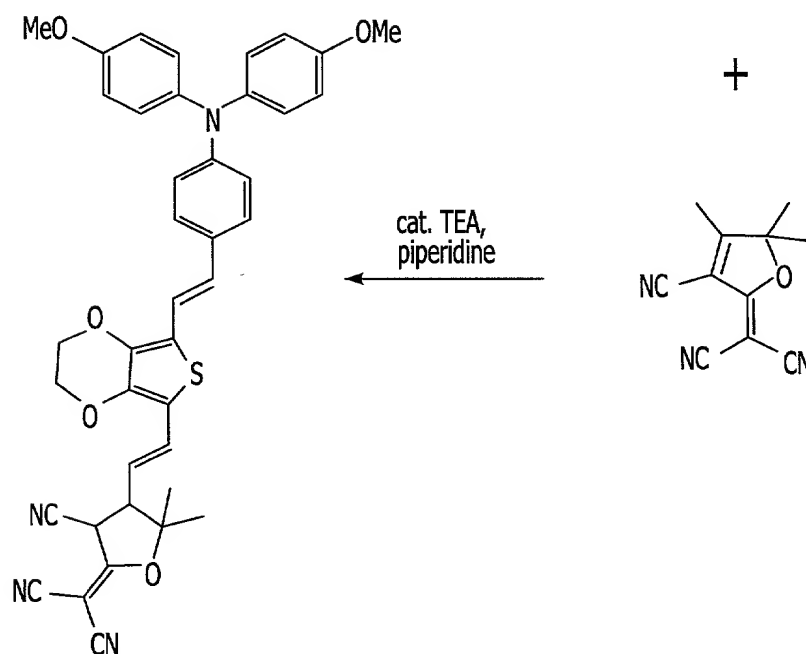
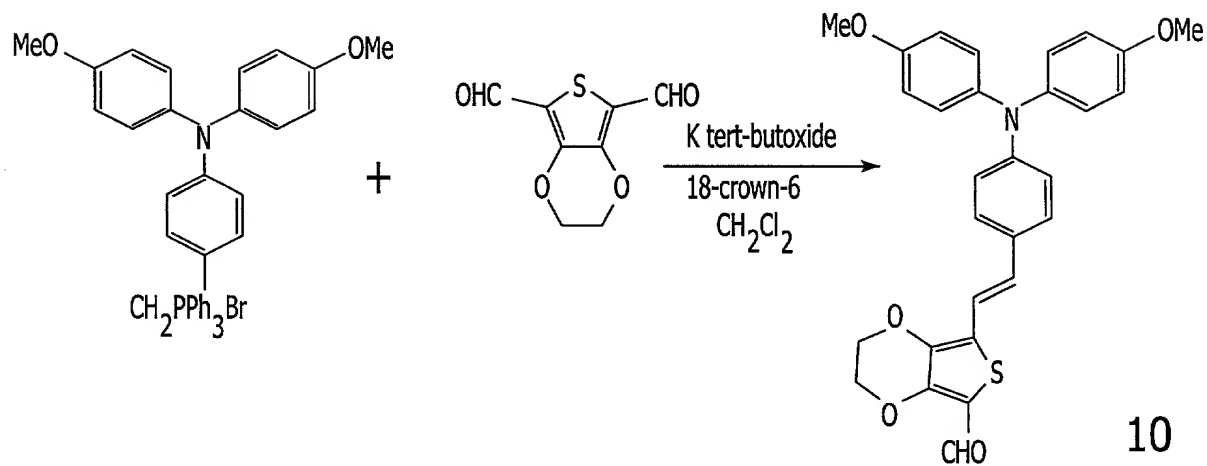
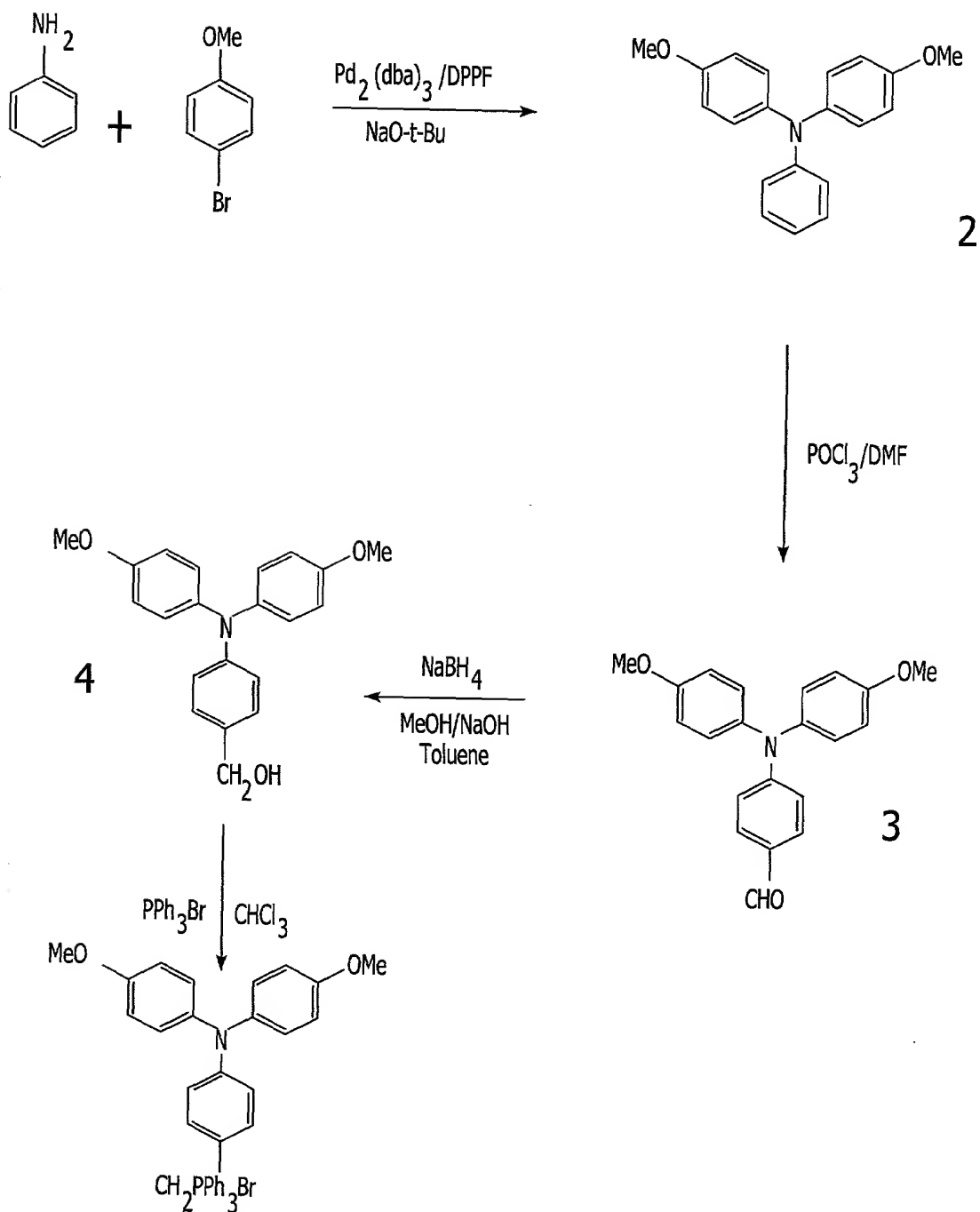


Fig. 8.

12/45

*Fig. 9.*

13/45

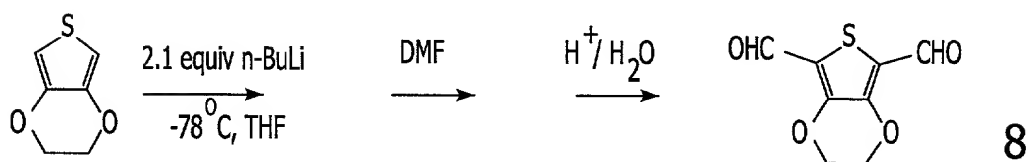


Fig. 10.

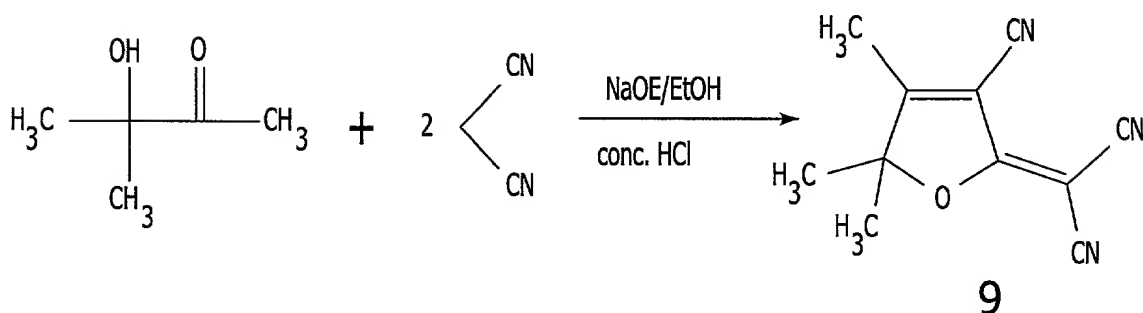


Fig. 11.

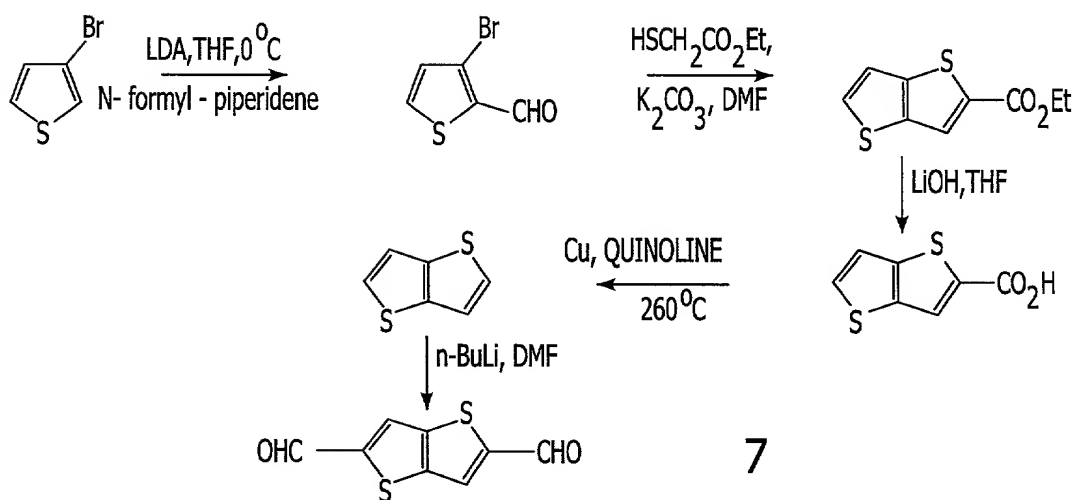


Fig. 13.

14/45

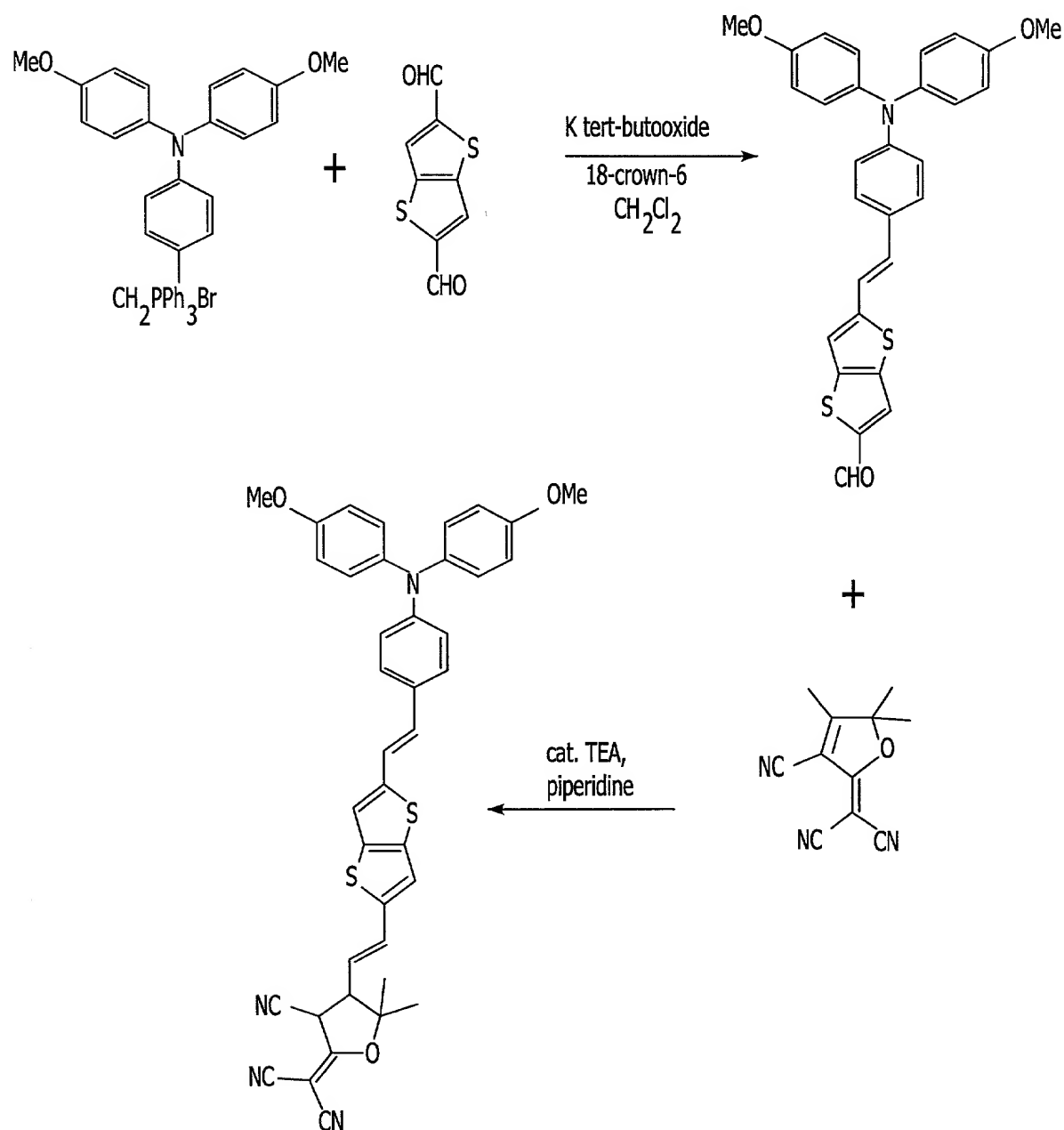


Fig. 12.

15/45

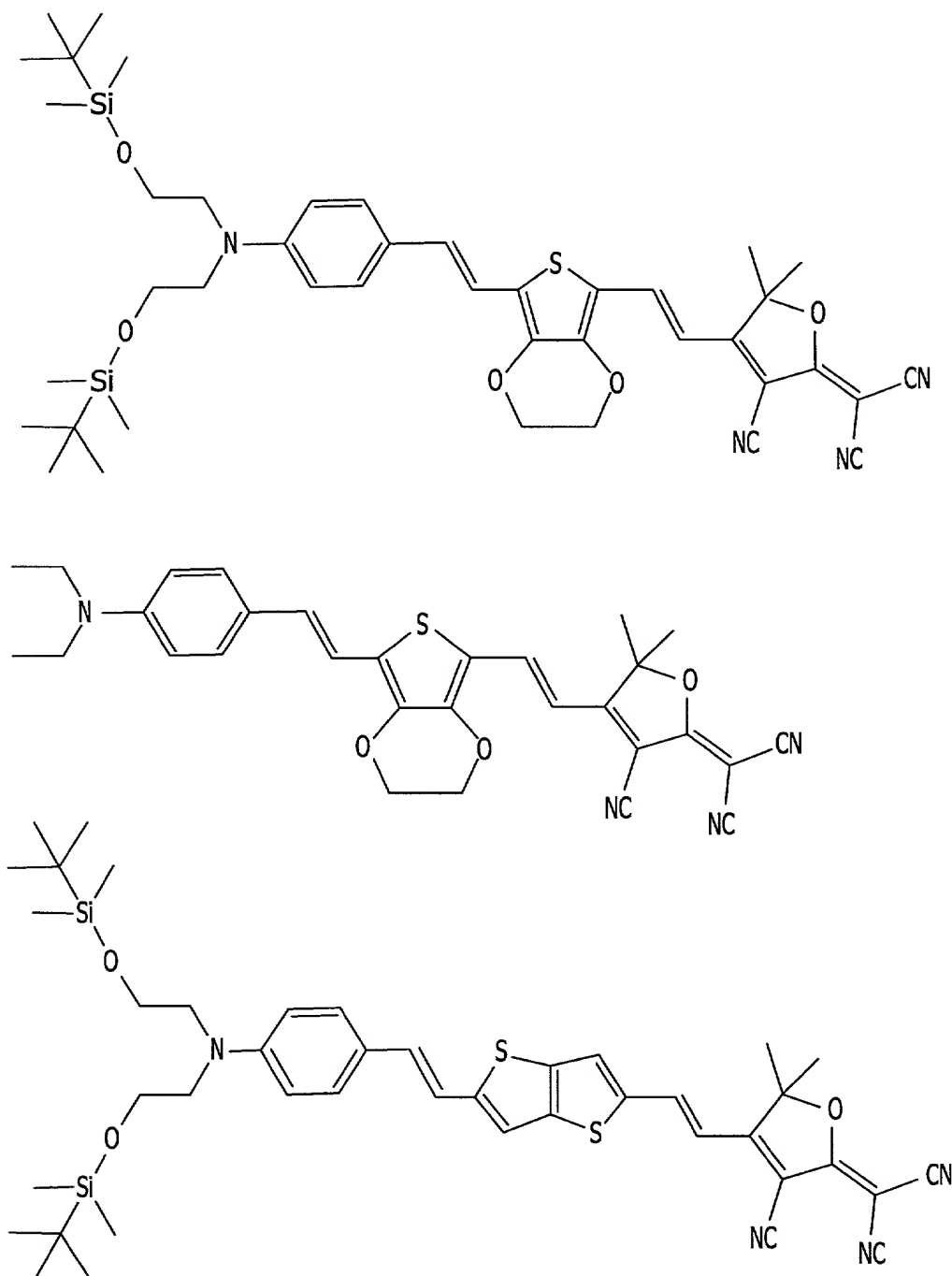


Fig. 14.

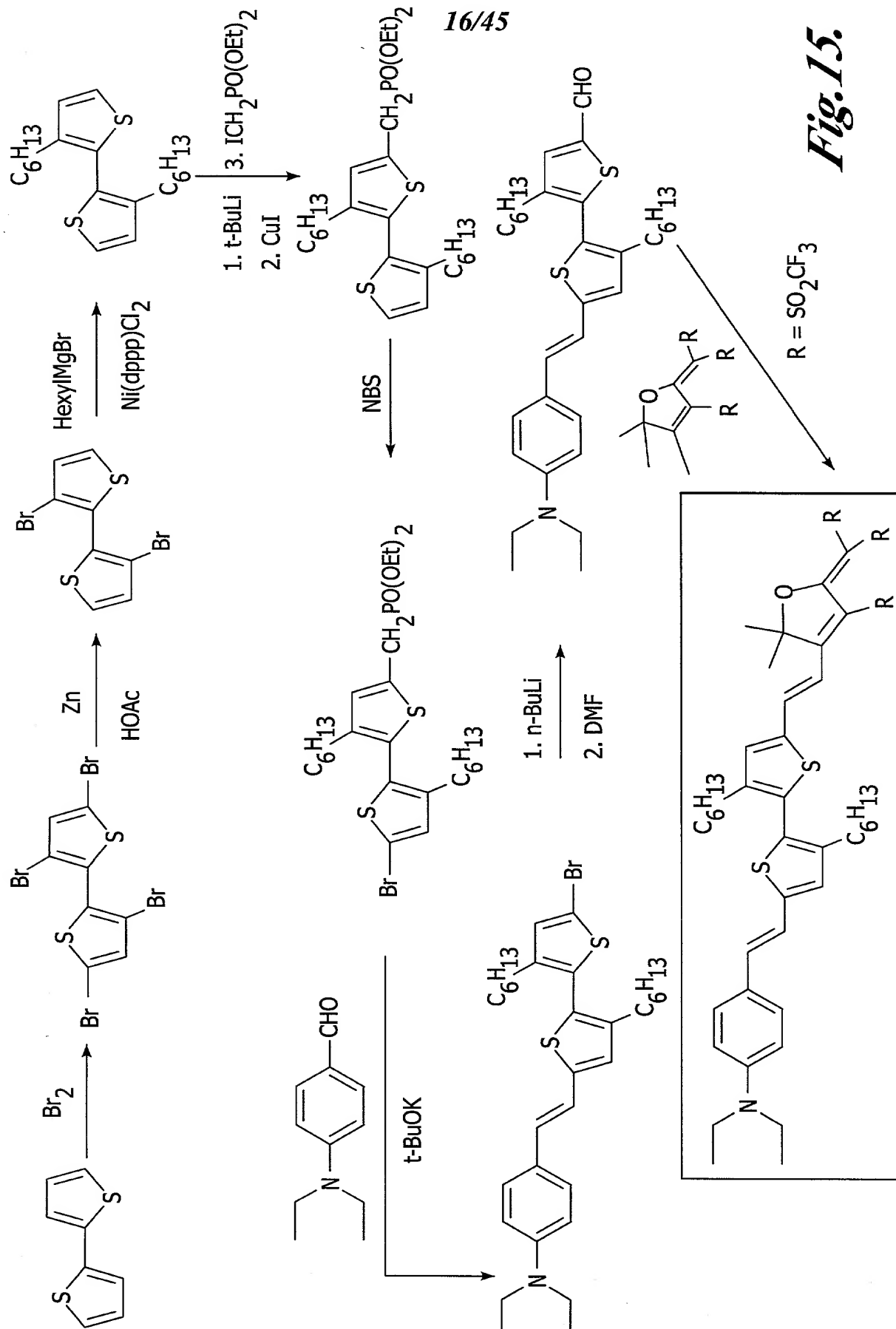


Fig. 15.

17/45

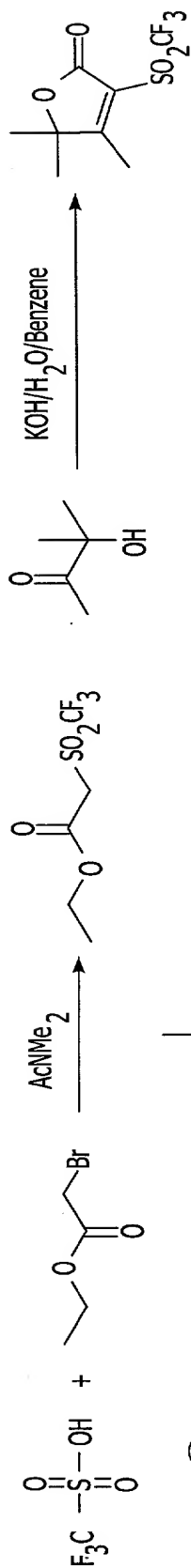


Fig. 16.

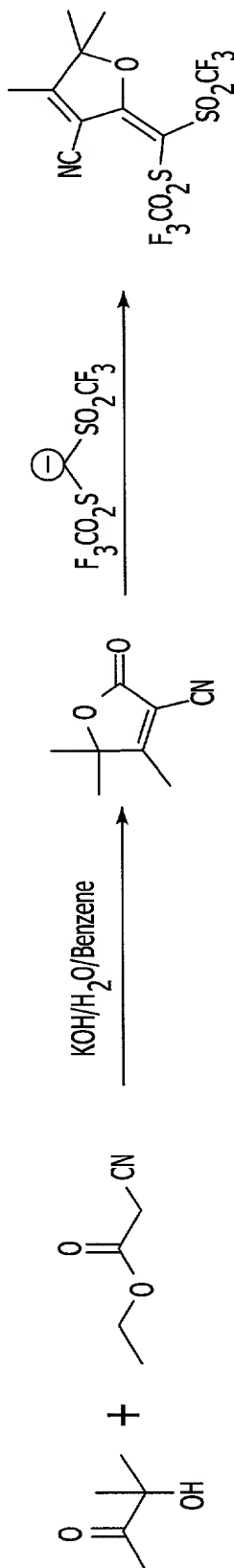


Fig. 19.

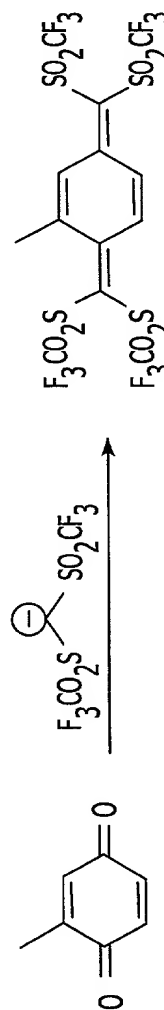


Fig. 20.

18/45

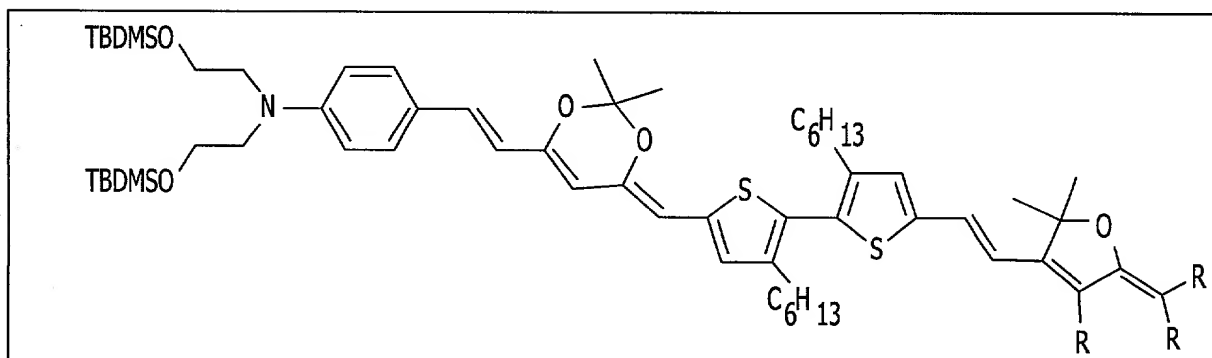
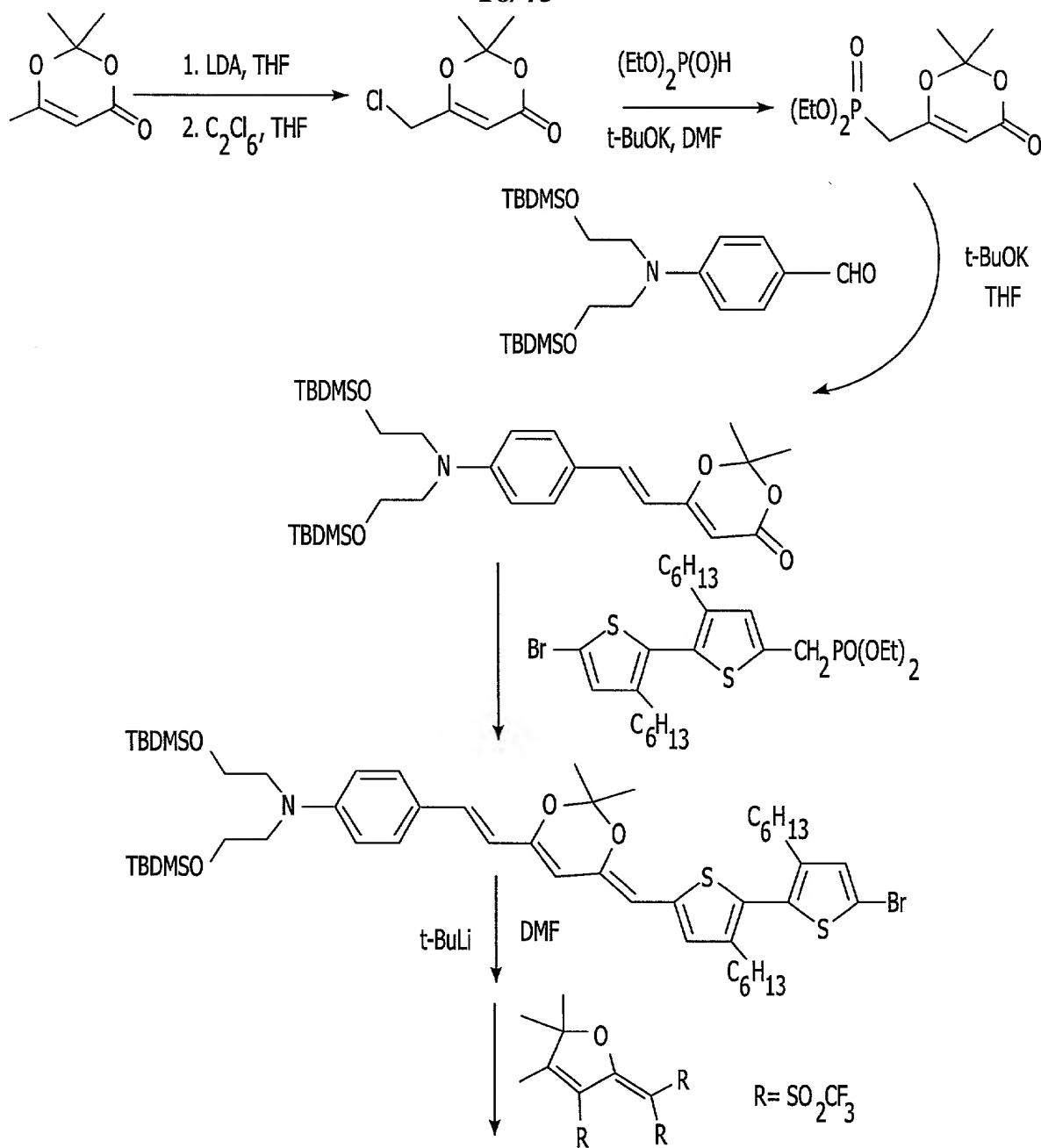


Fig.17.

19/45

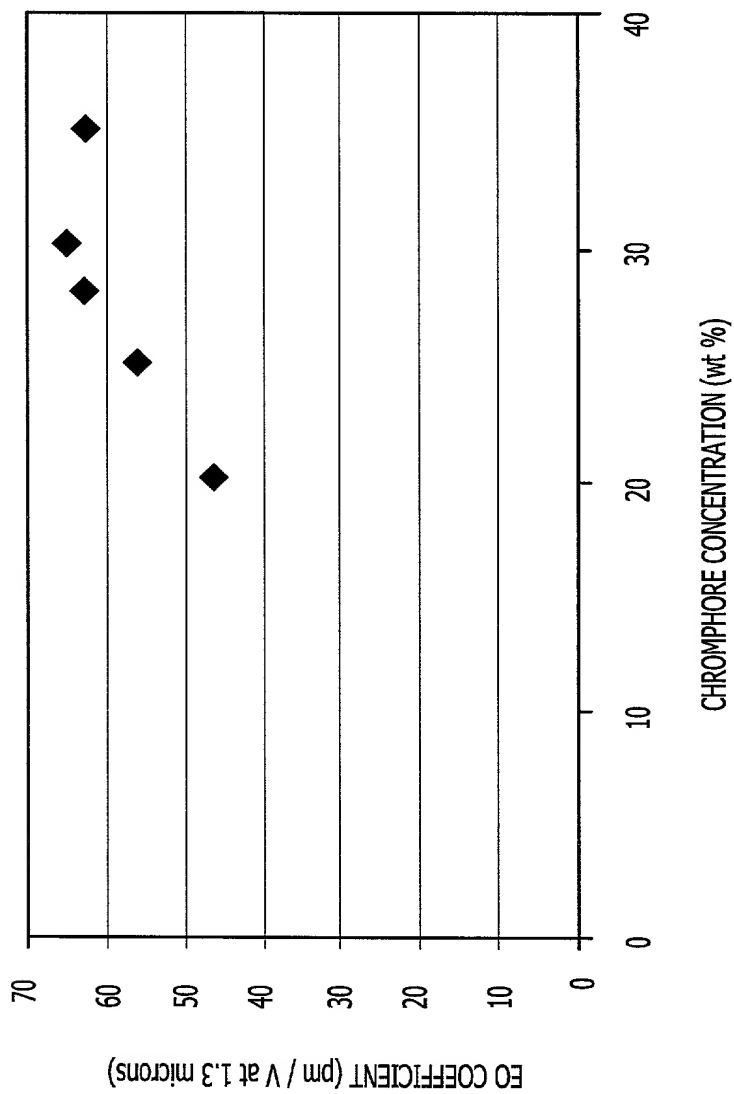


Fig. 18.

20/45

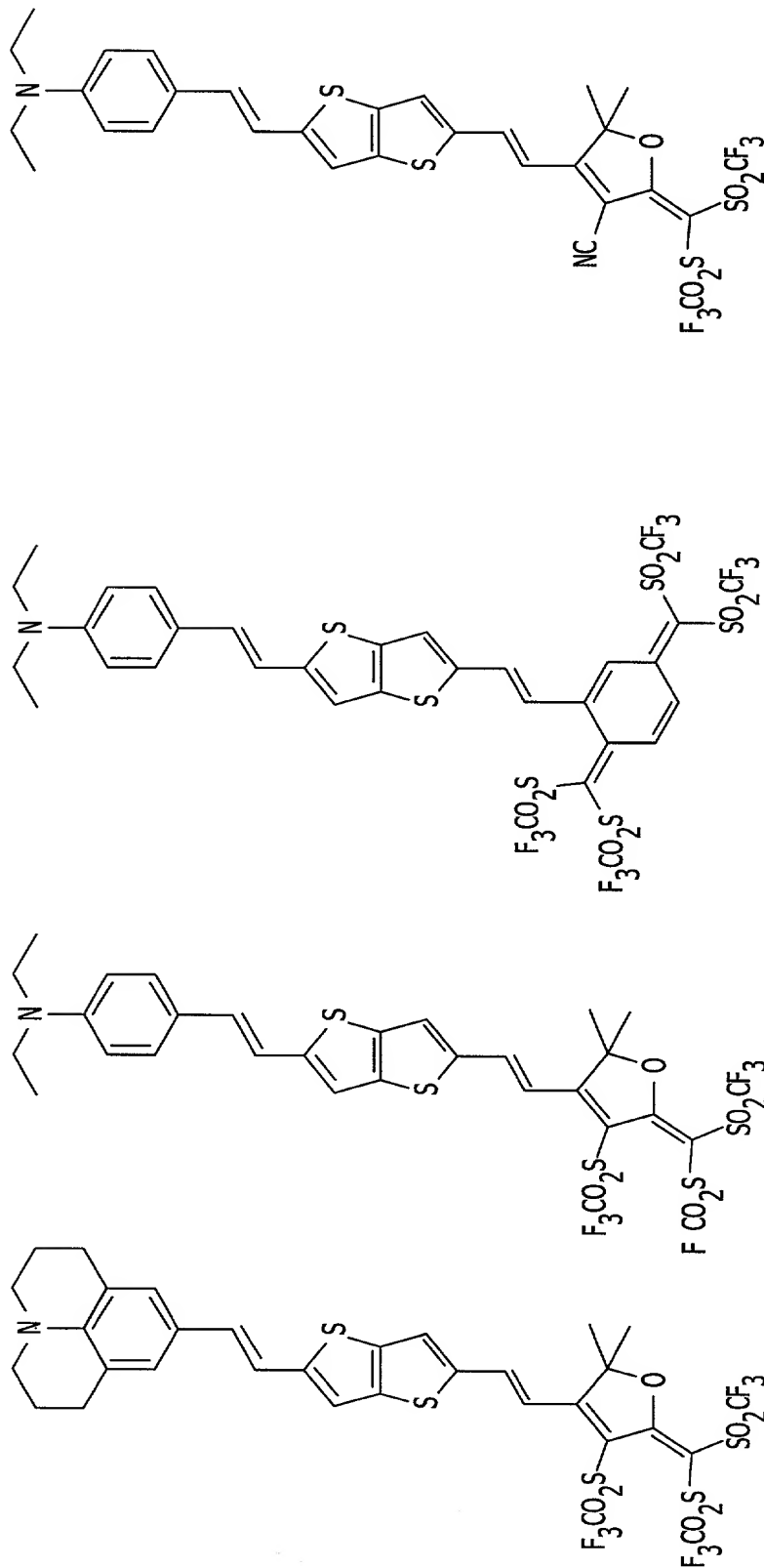


Fig. 21.

21/45

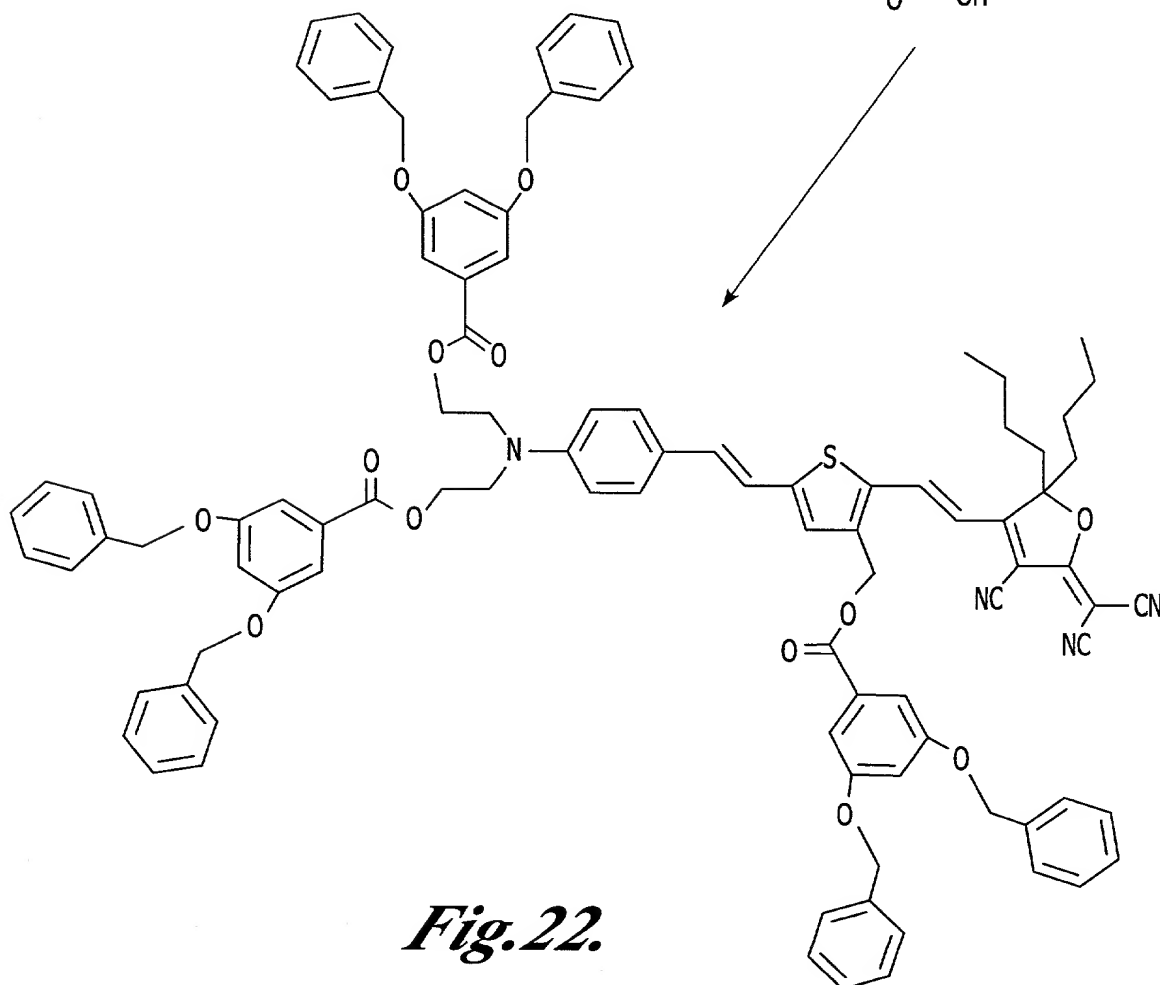
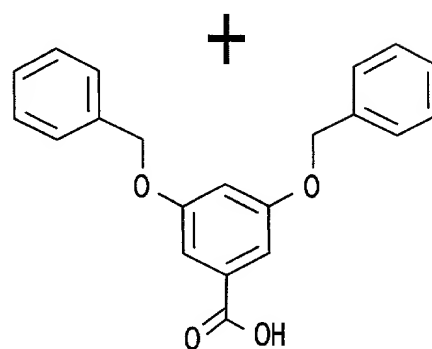
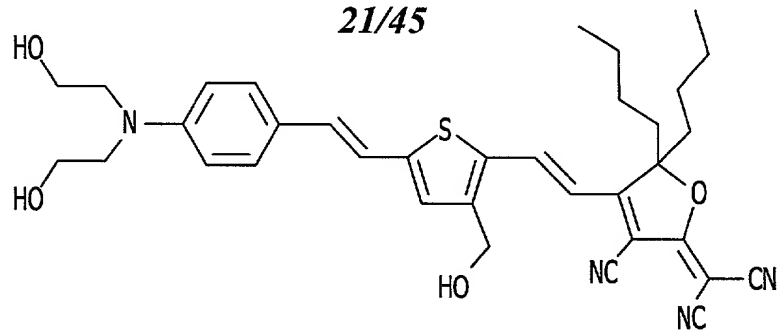


Fig. 22.

22/45

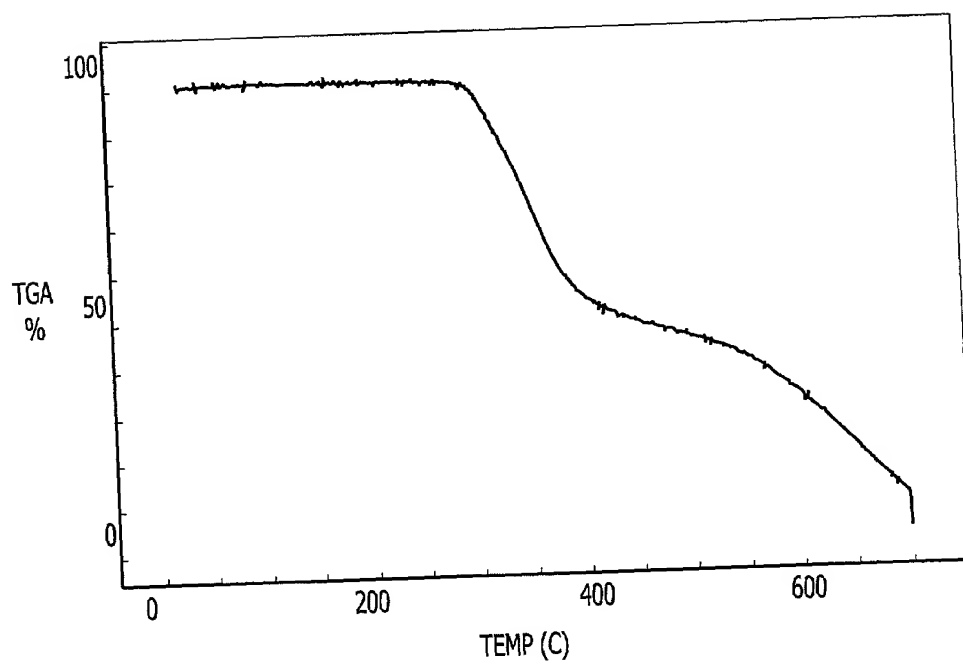


Fig.23.

23/45

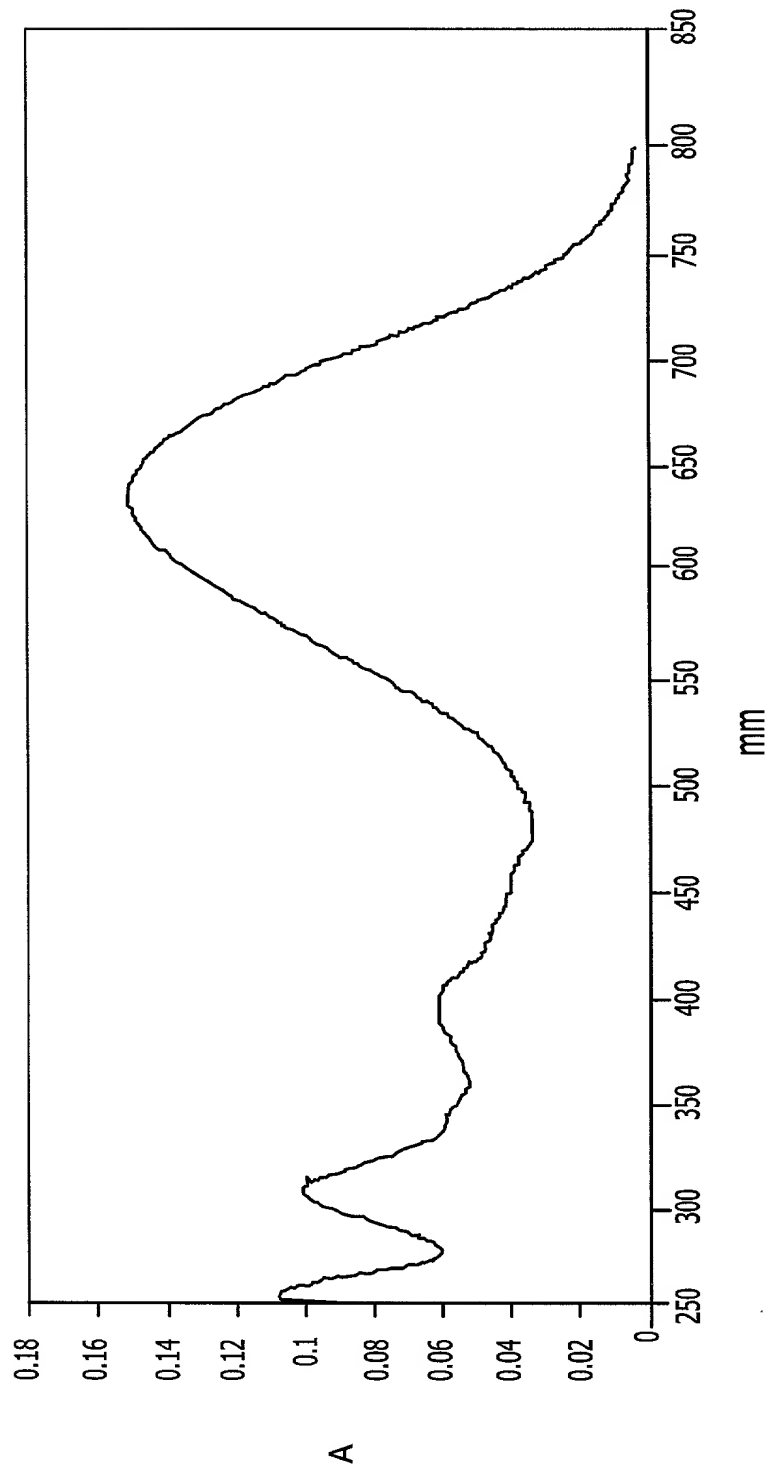


Fig. 24.

24/45

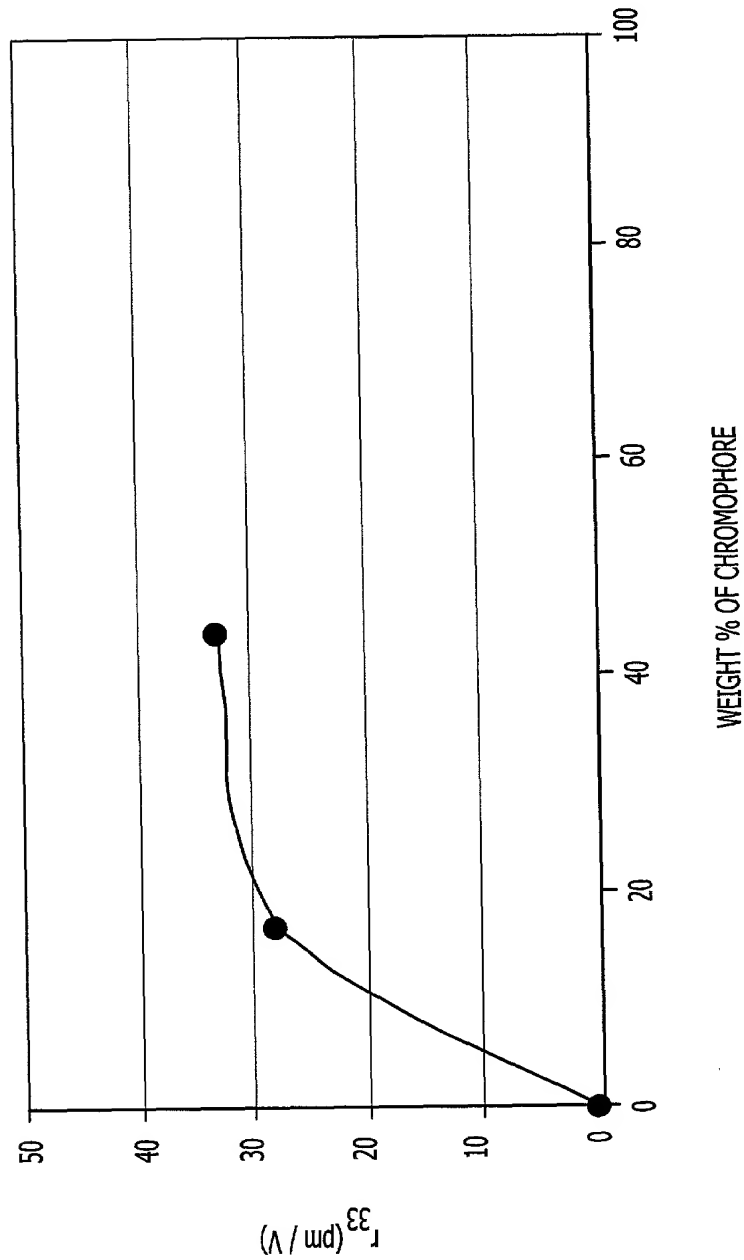


Fig. 25.

25/45

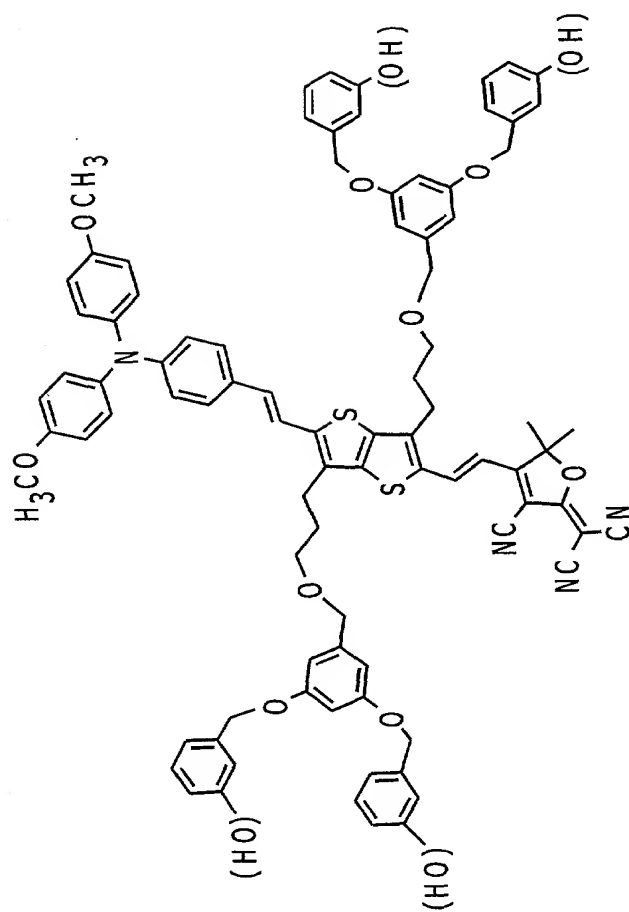
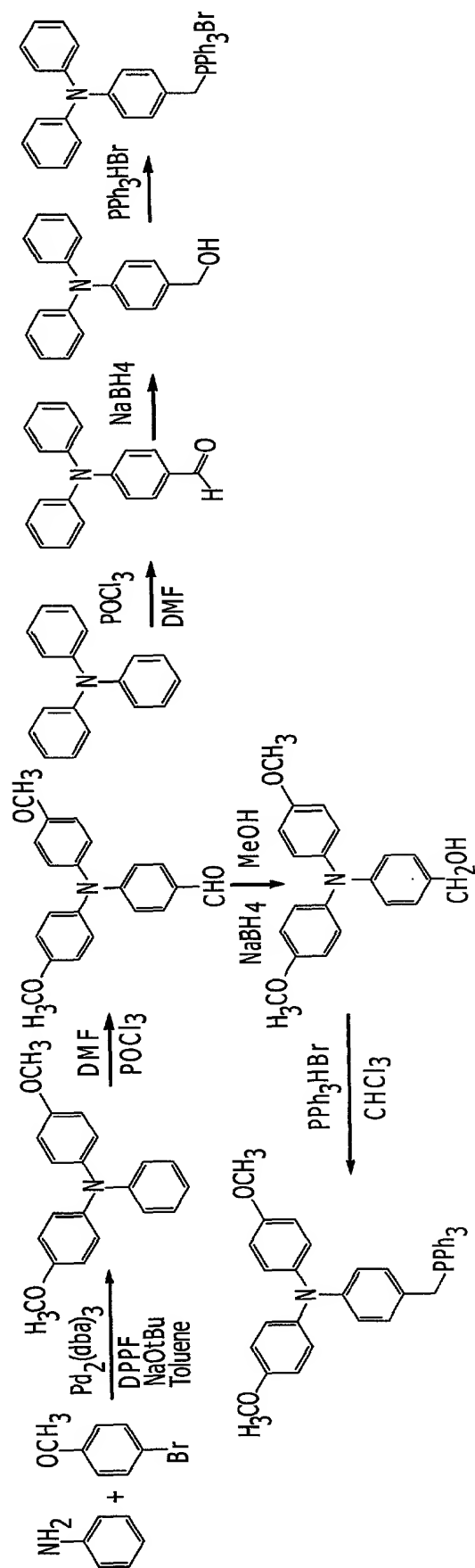


Fig. 27.



26/45

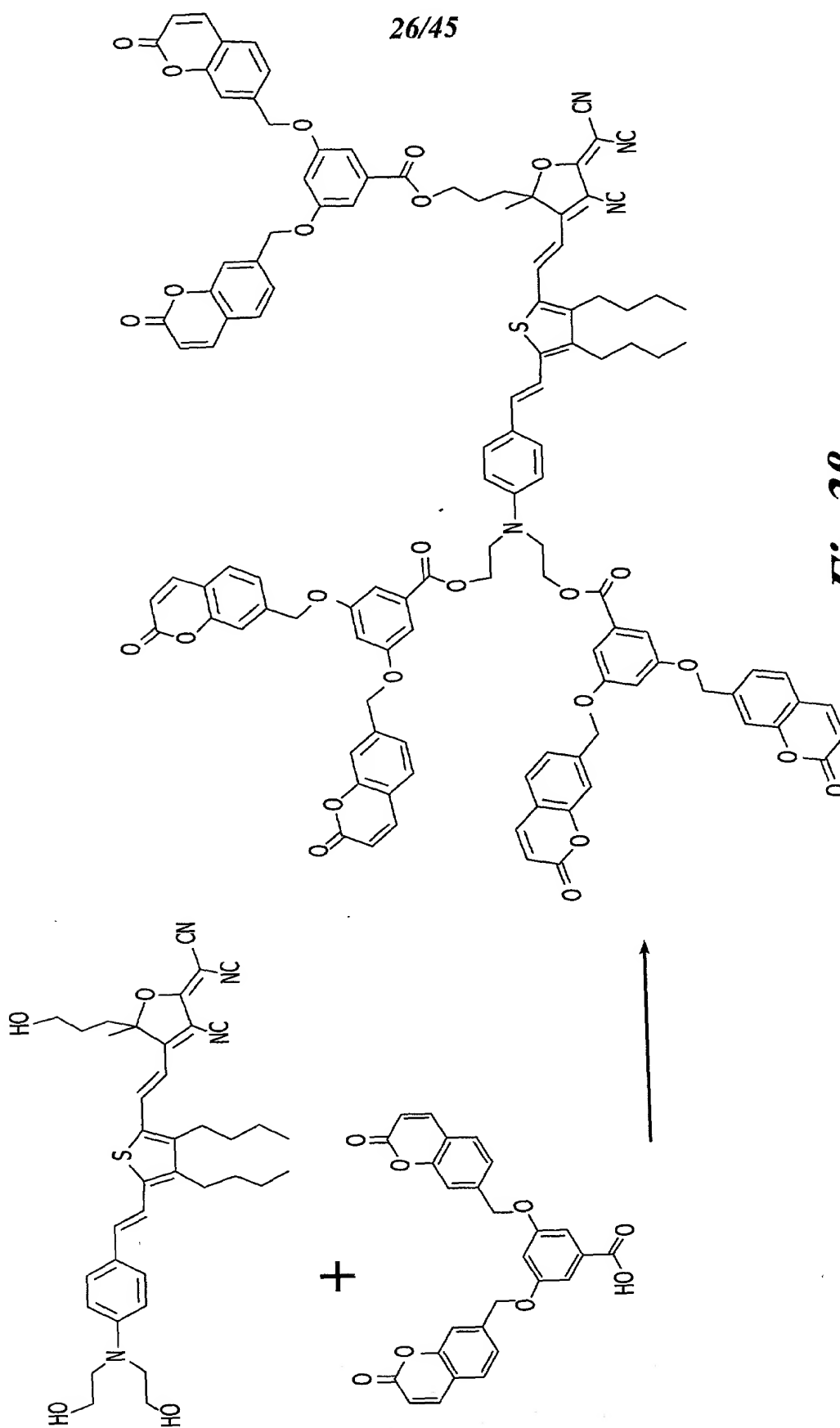
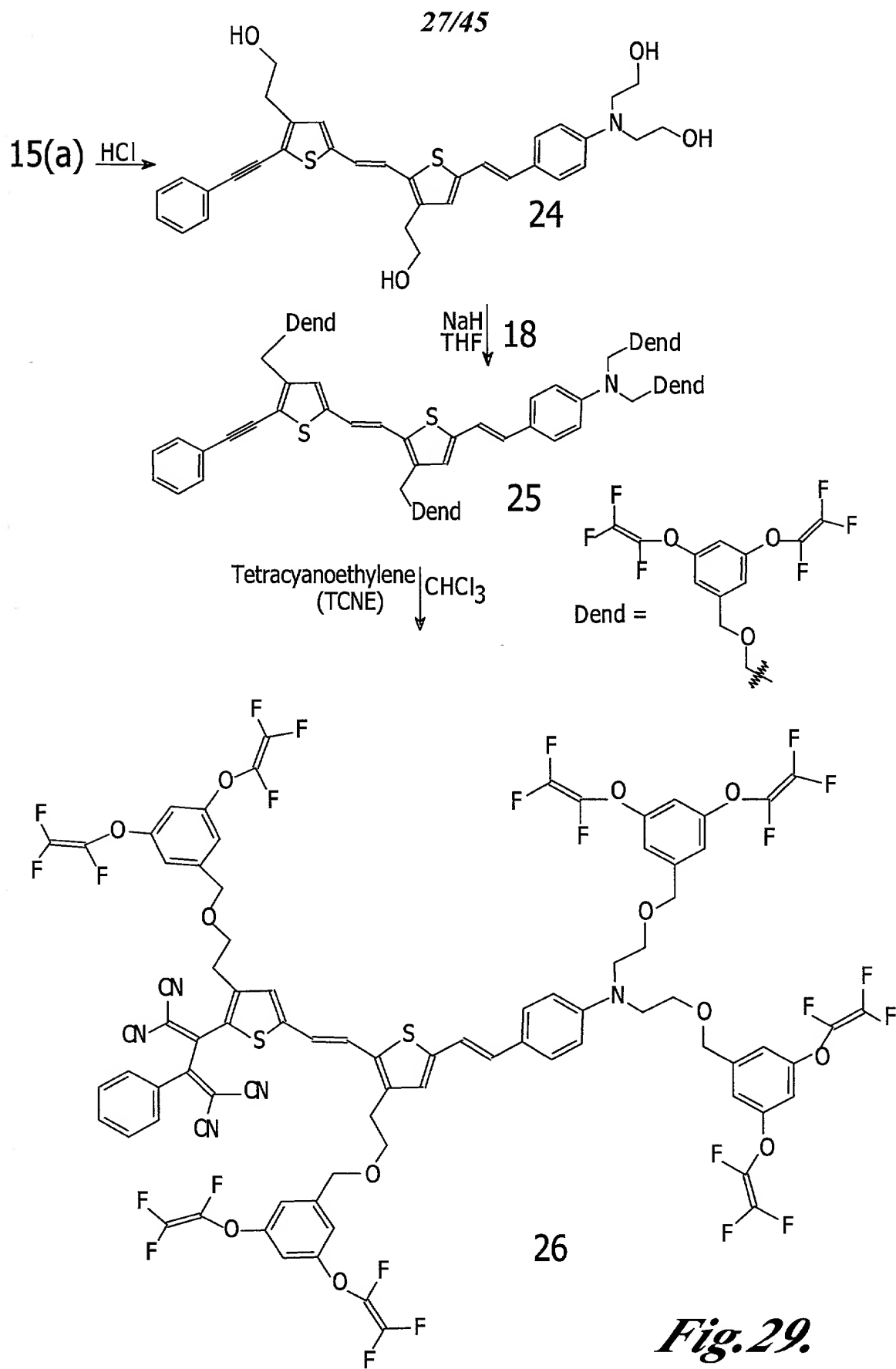


Fig. 28.



28/45

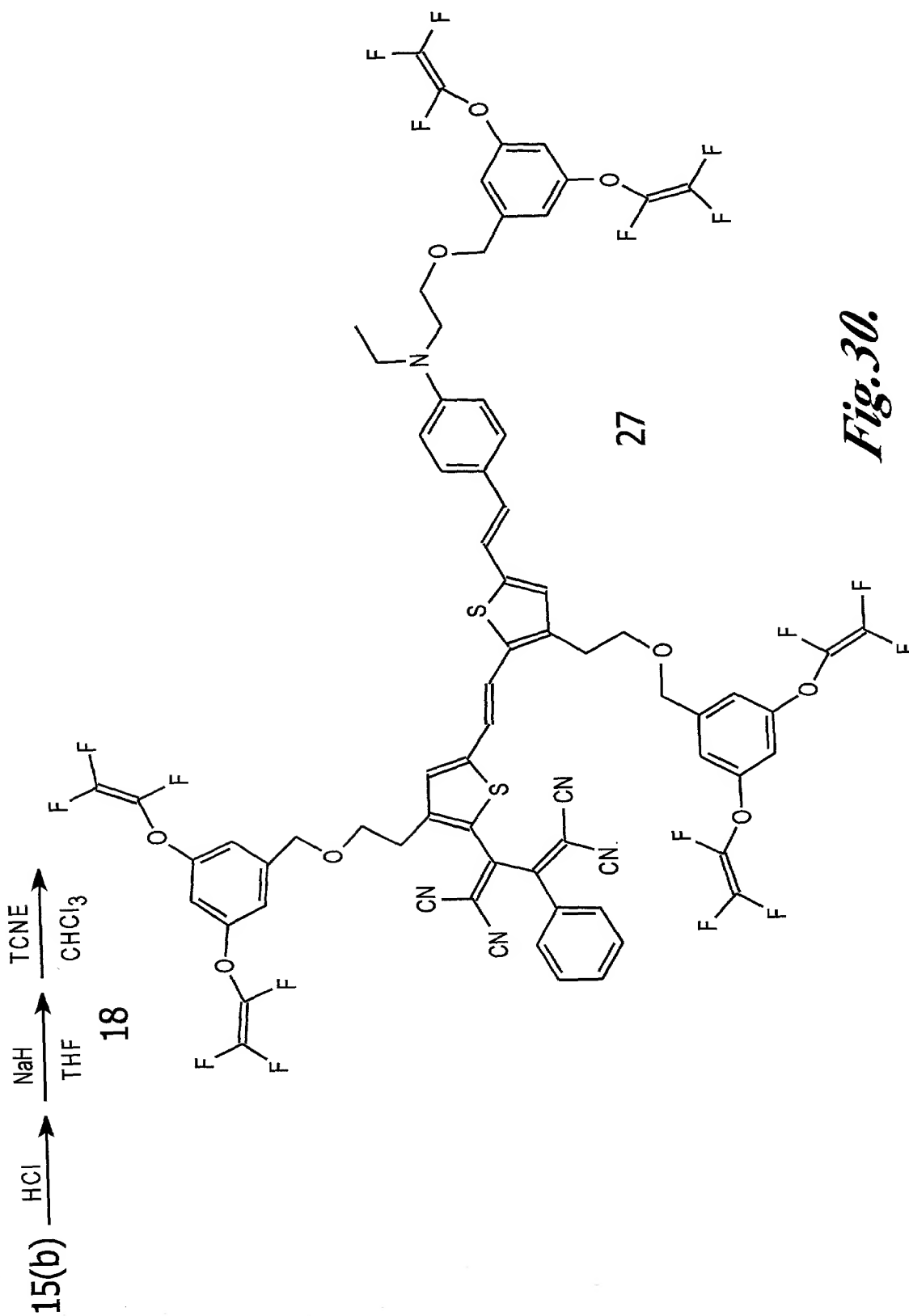


Fig. 30.

29/45

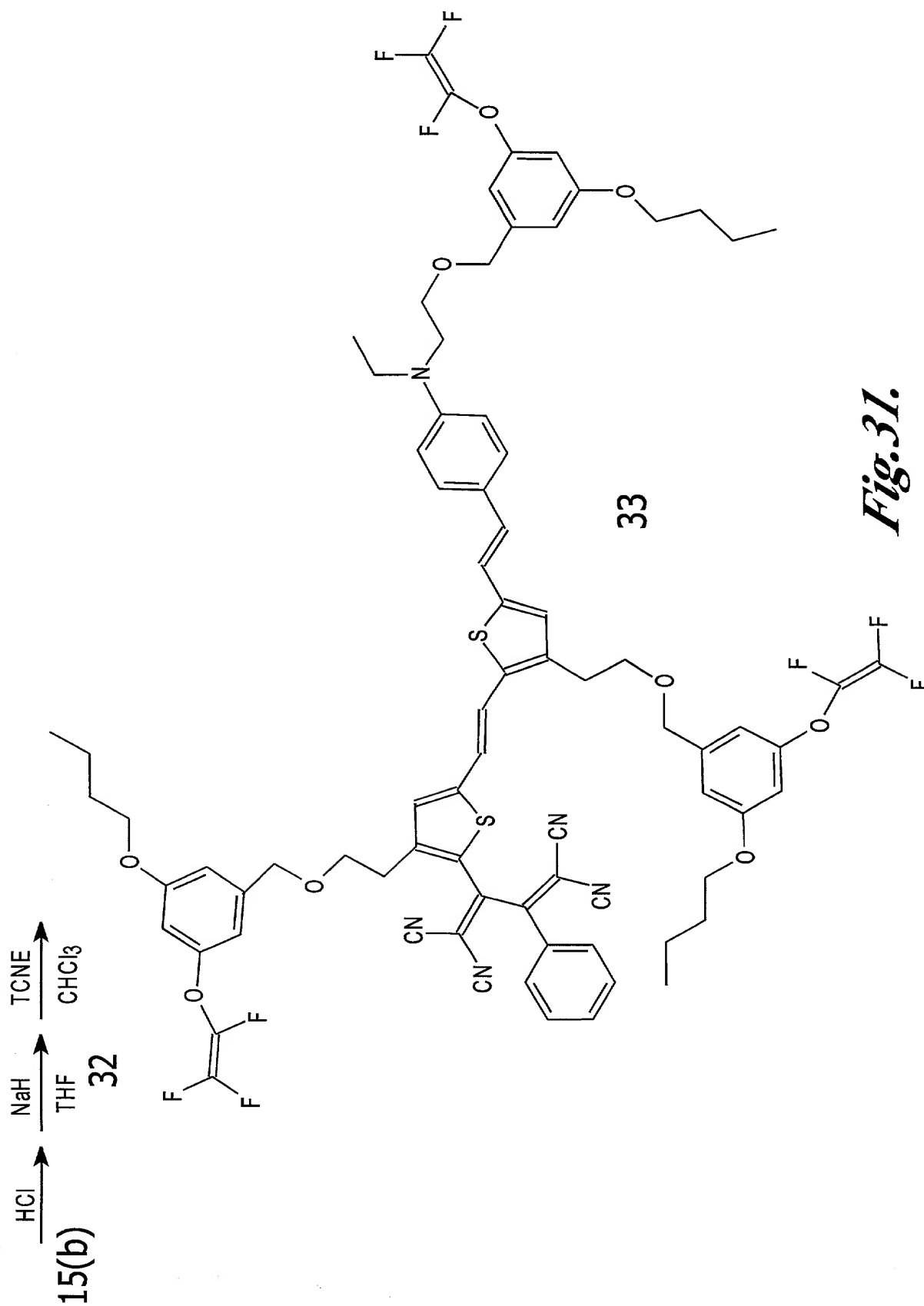


Fig.31.

30/45

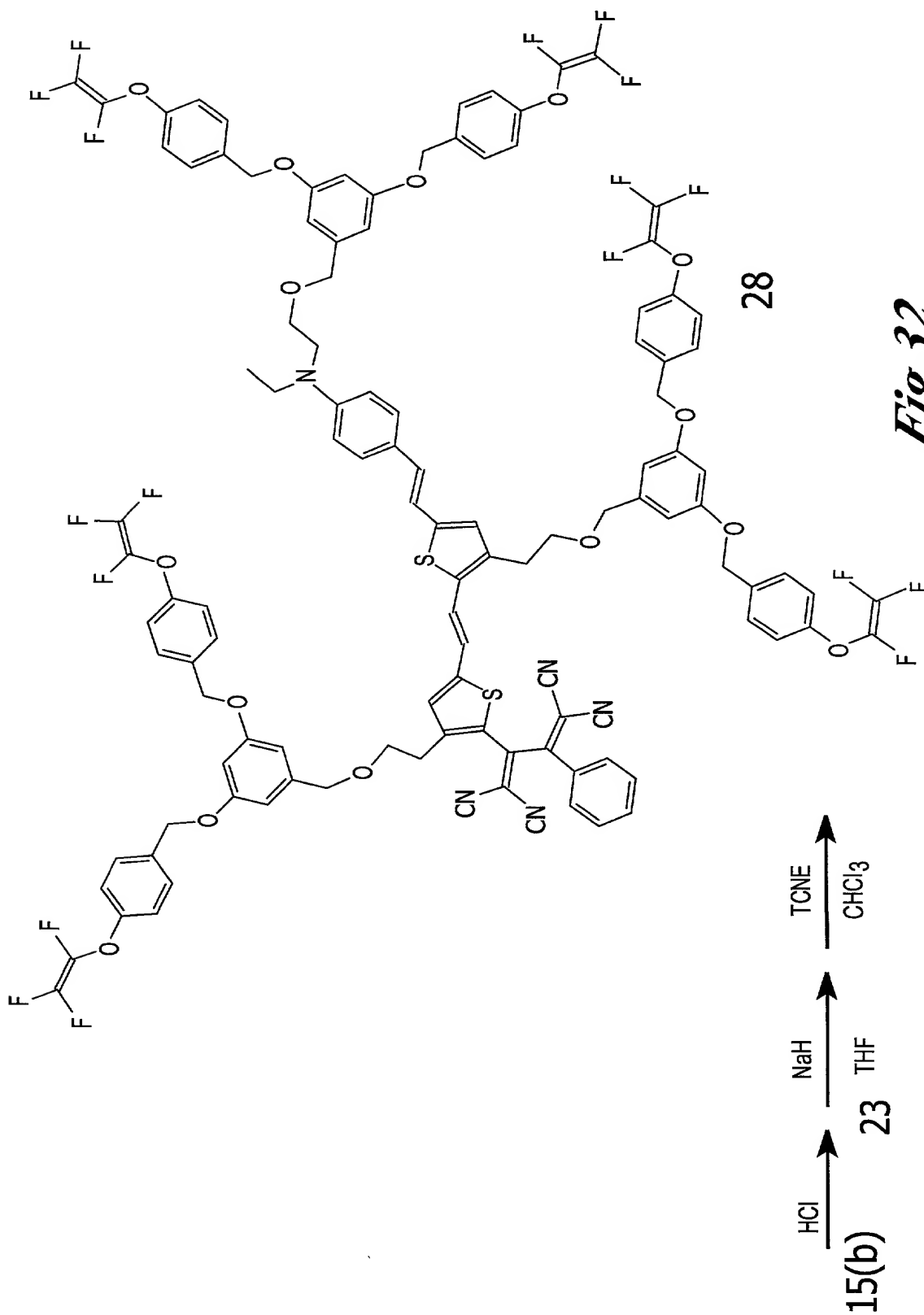


Fig.32.

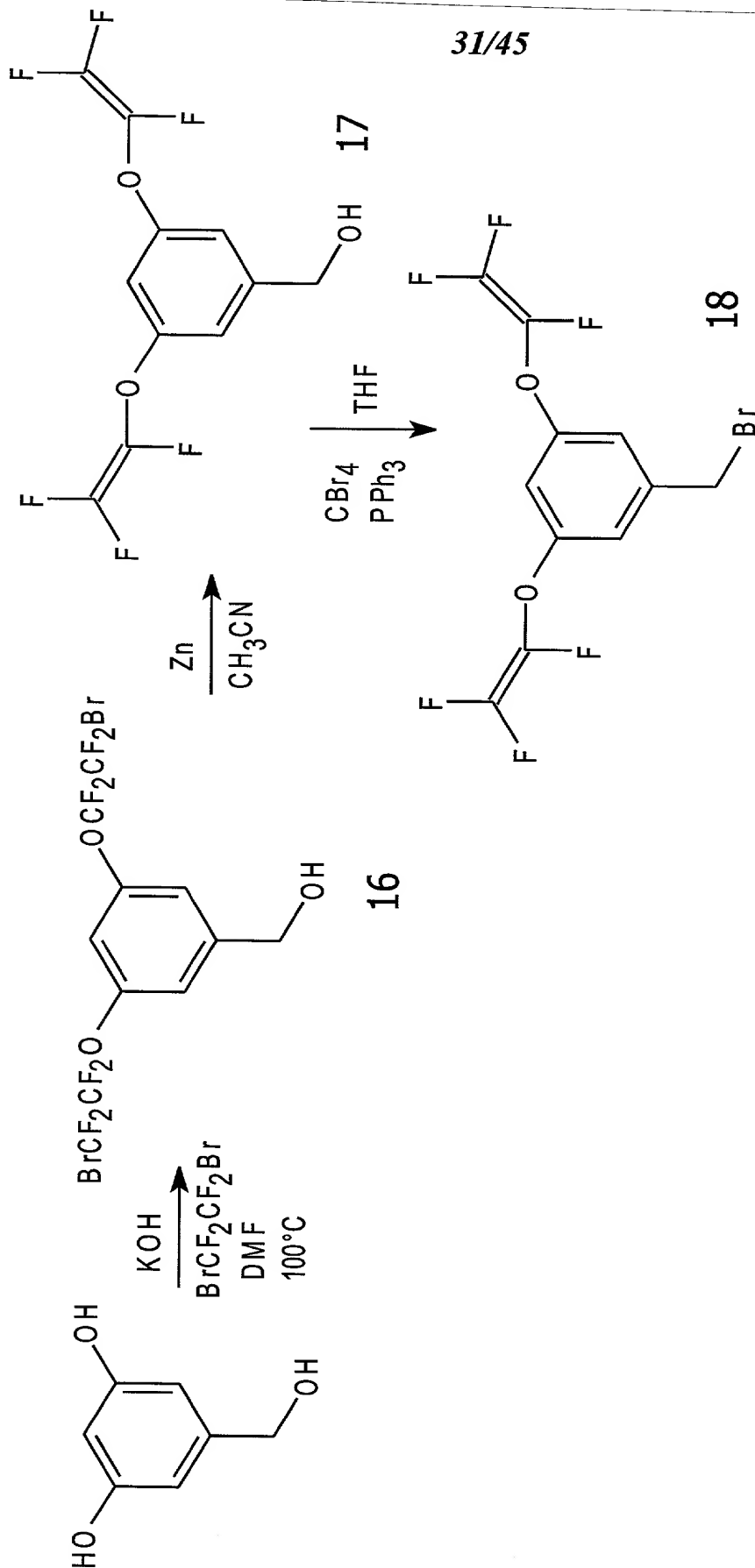


Fig. 33.

32/45

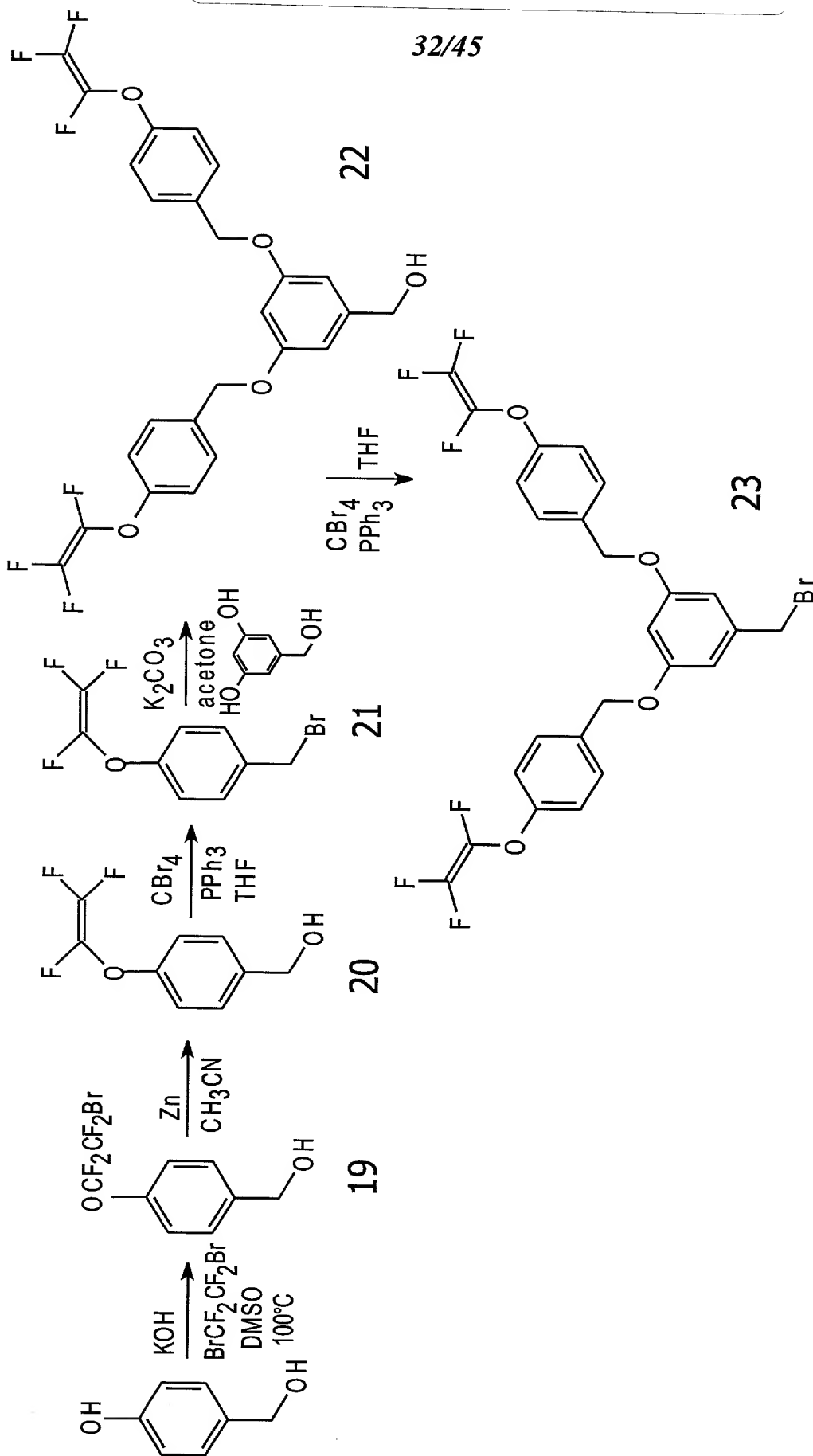


Fig. 34.

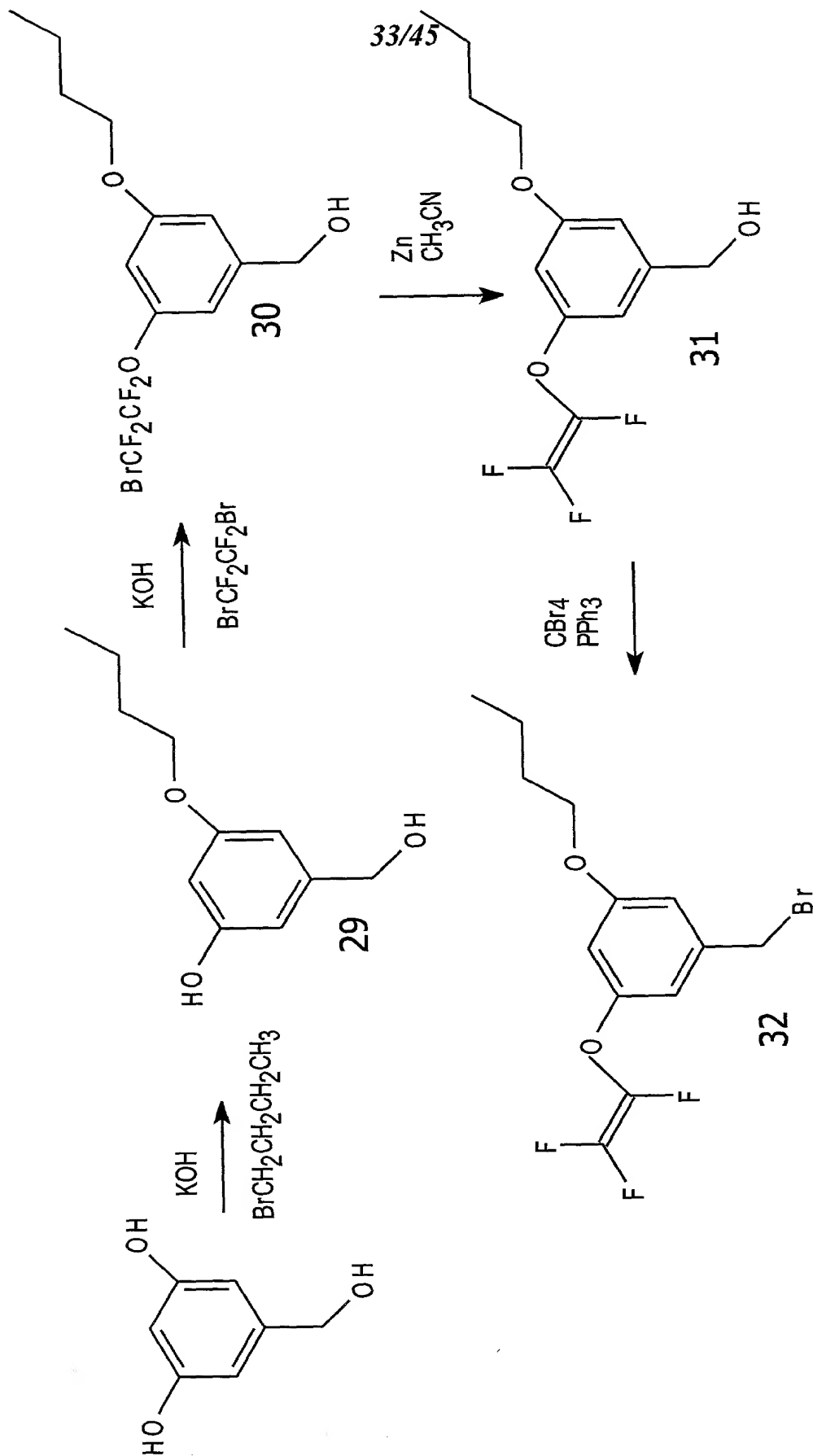


Fig. 35.

34/45

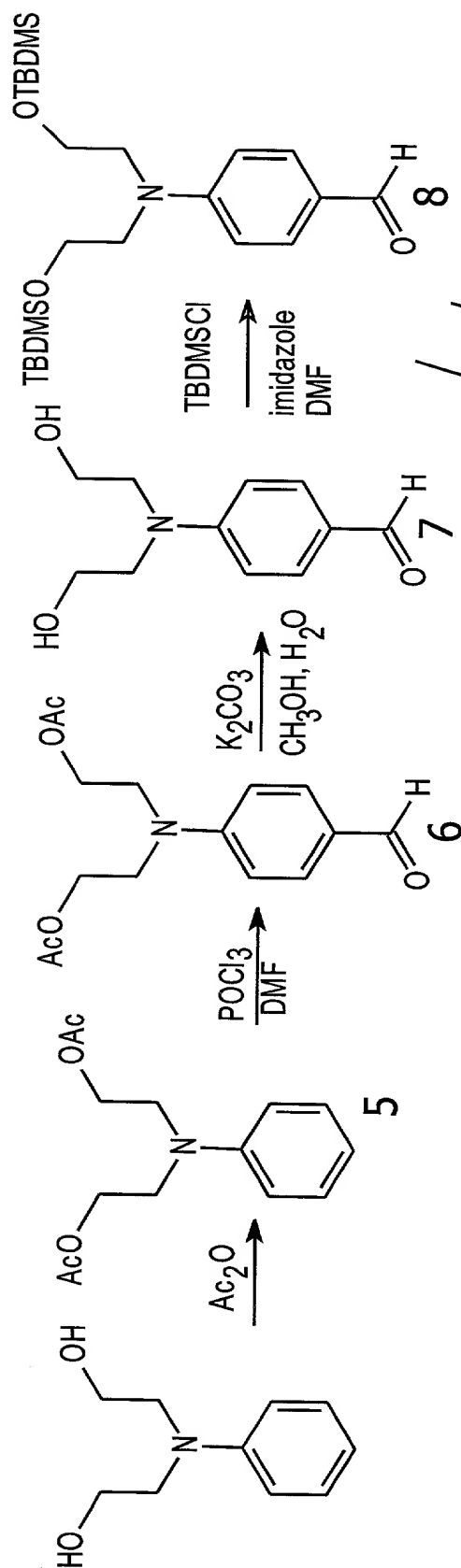


Fig. 36.

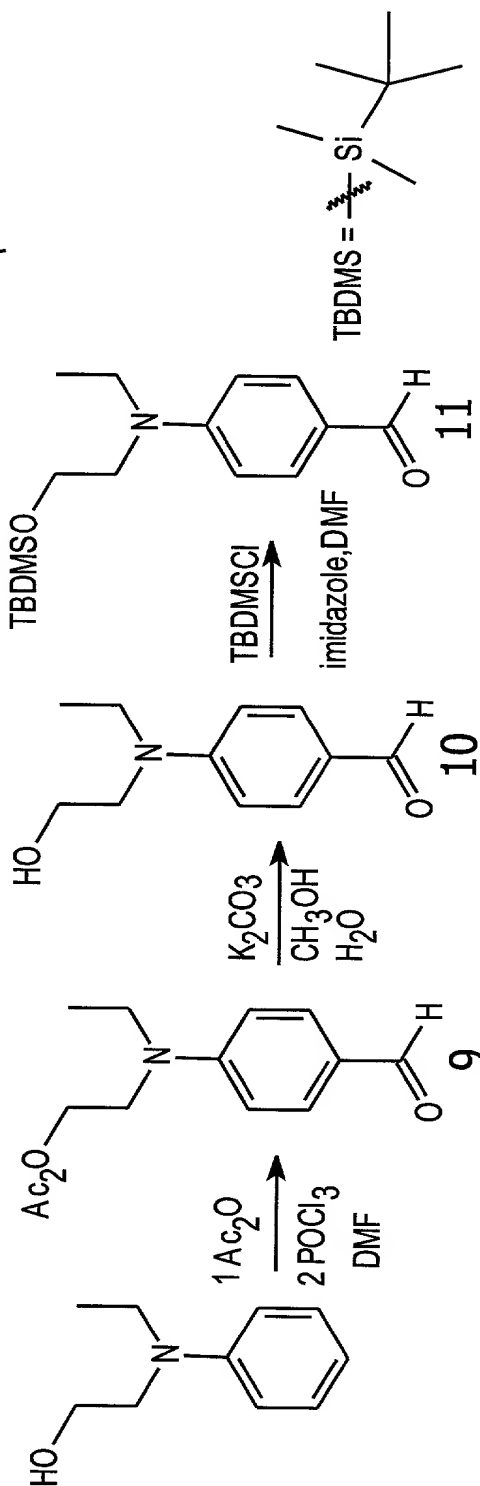


Fig. 37.

35/45

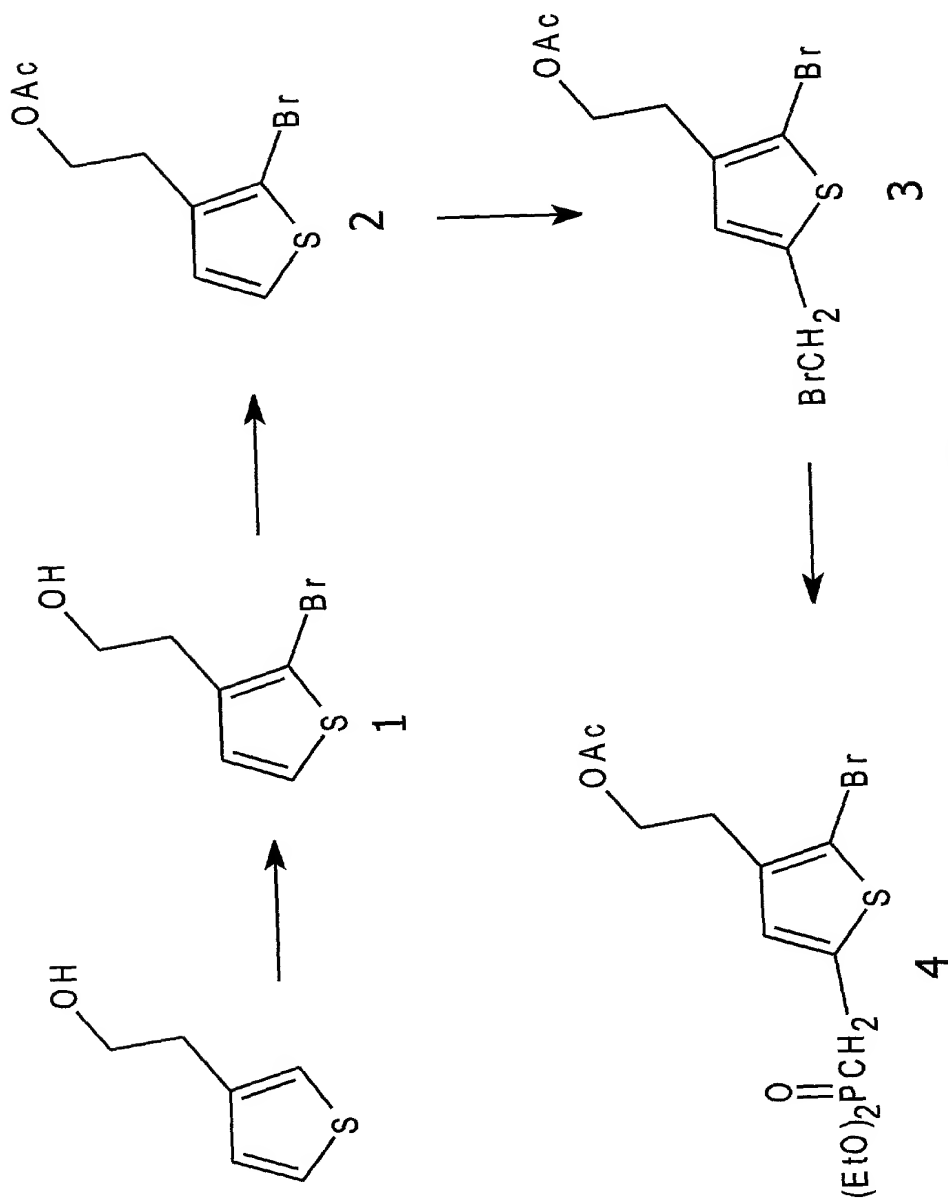


Fig.38.

36/45

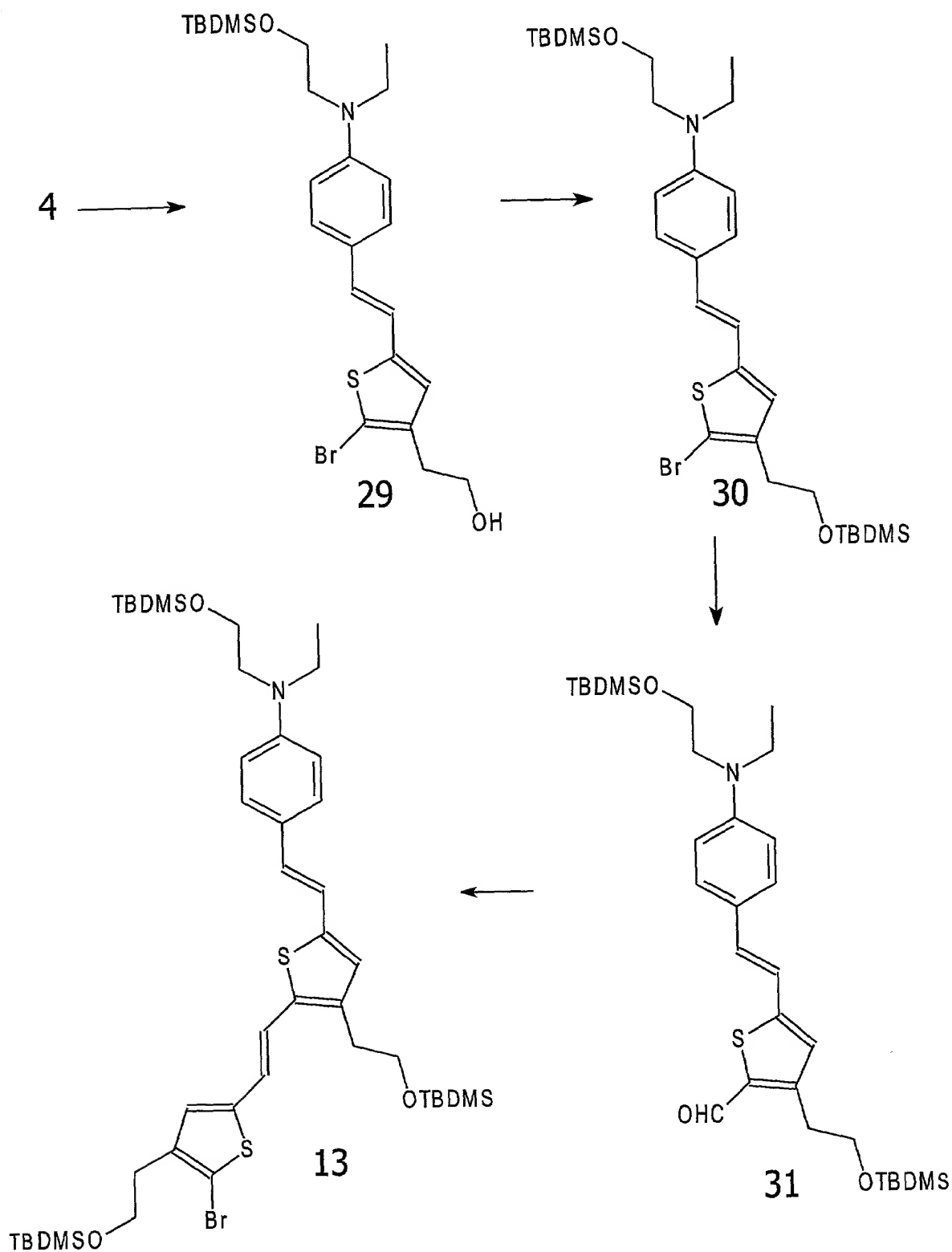


Fig.39.

37/45

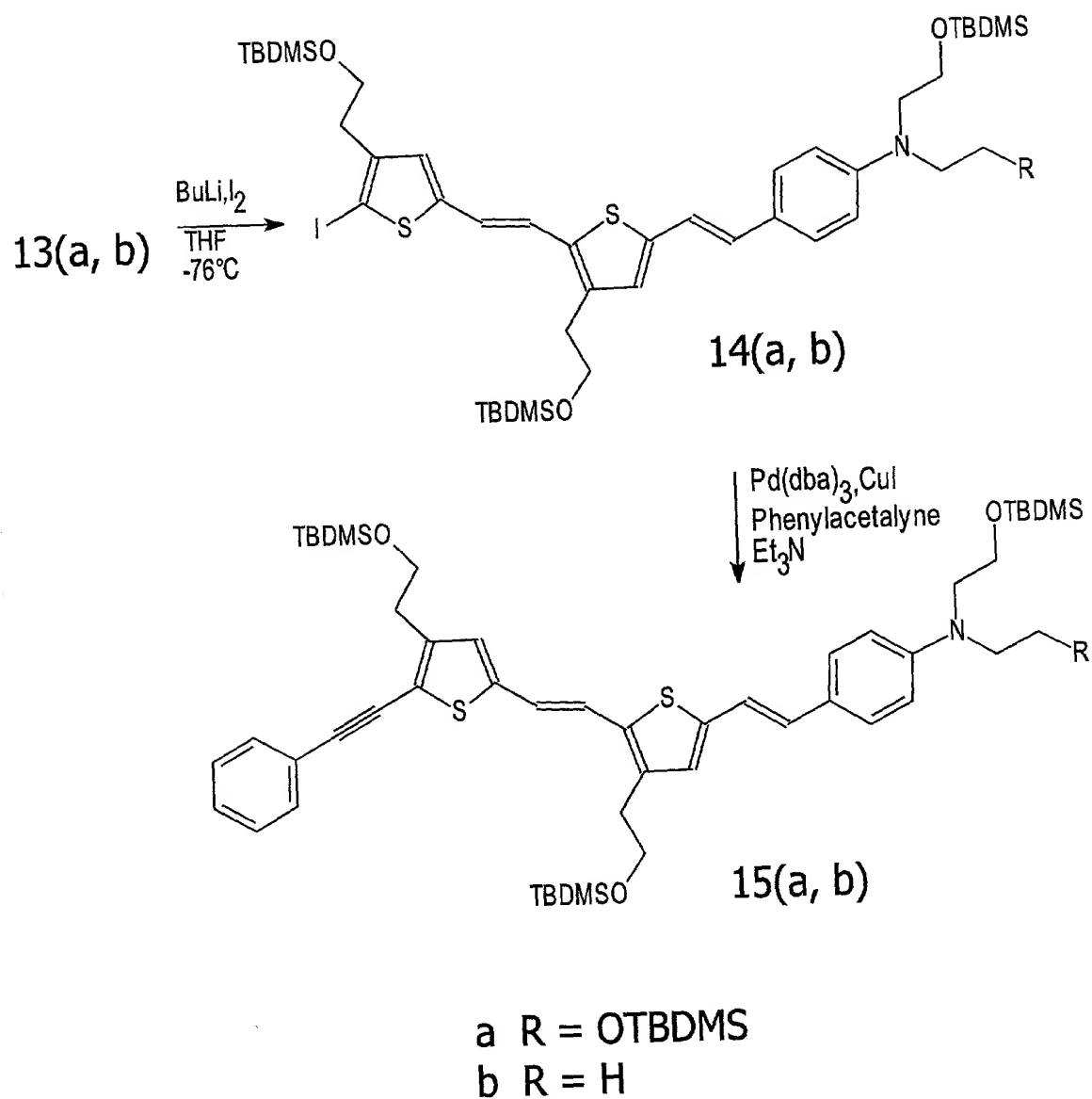


Fig. 40.

38/45

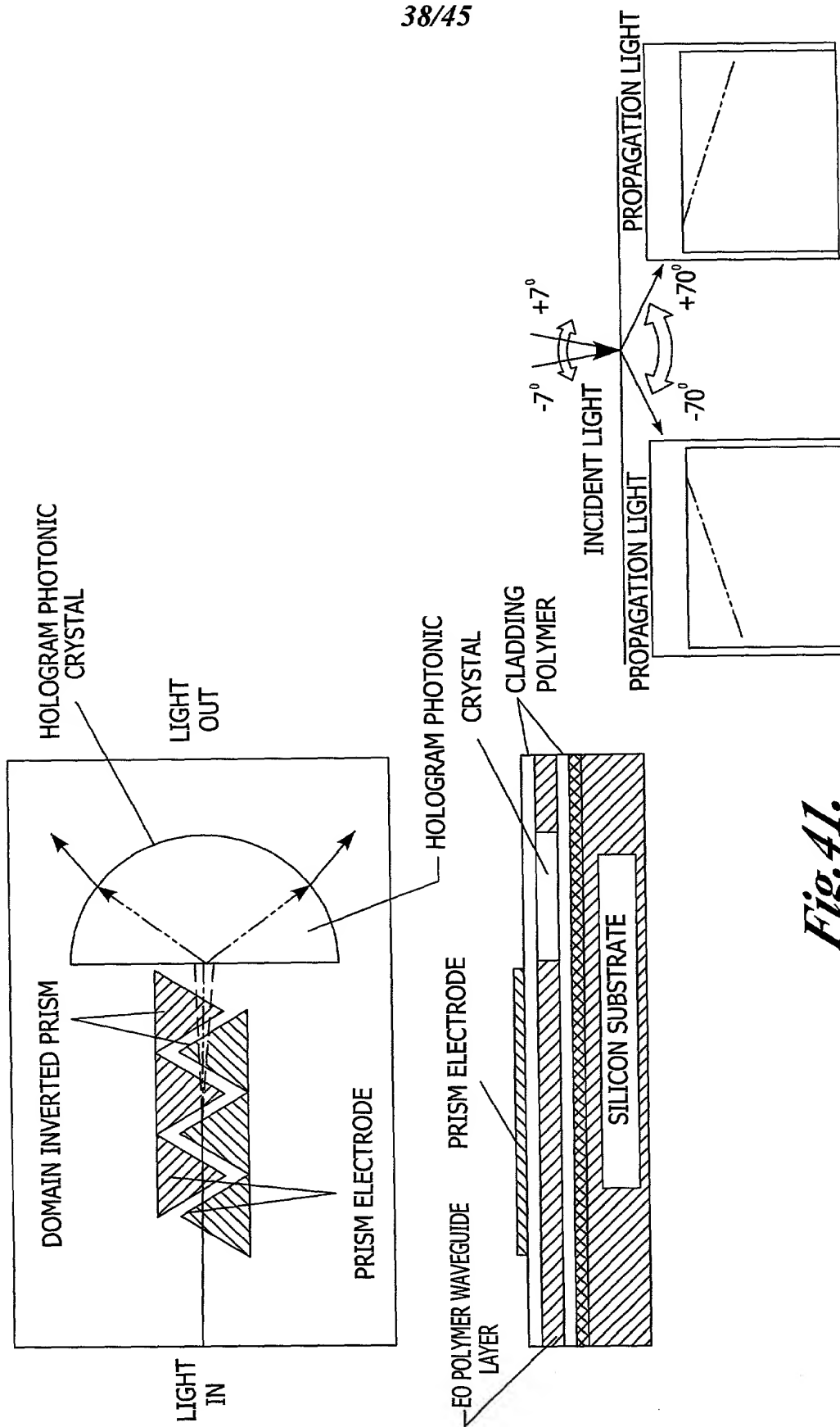
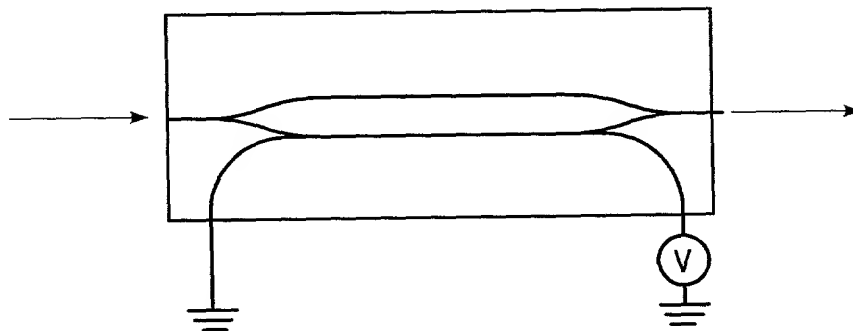
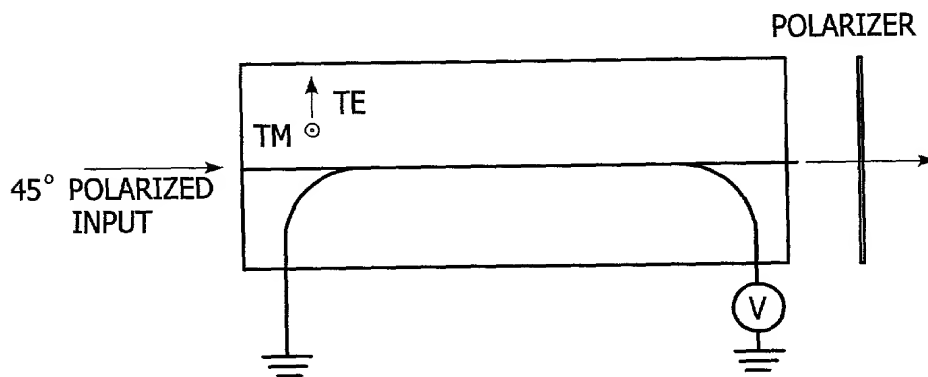


Fig. 41.

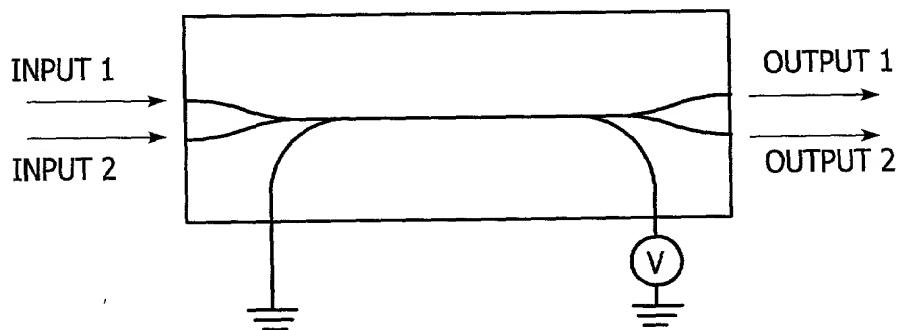
39/45



MACH ZEHNDER MODULATOR



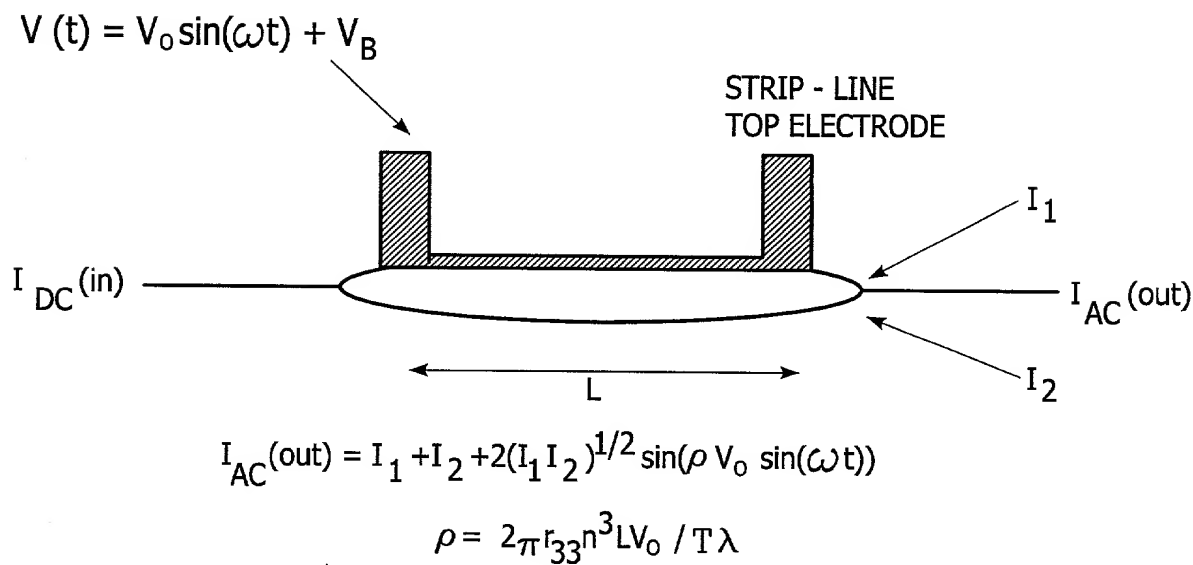
BIREFRINGENT MODULATOR



DIRECTIONAL COUPLER

Fig.42.

40/45



COMPARISON OF KEY FEATURES OF SIMPLE DEVICES

	MACH ZEHNDER INTERFEROMETER	BIREFRINGENT MODULATOR	DIRECTIONAL COUPLER
r_{eff}	r_{33}	$r_{33} - r_{13}$	r_{33}
V_{π}	$V_{\pi MZ}$	$1.5 V_{\pi MZ}$	$1.73 V_{\pi MZ}$
Mod. Power	P_{MZ}	$2.75 P_{MZ}$	$3 P_{MZ}$

Fig.43.

41/45

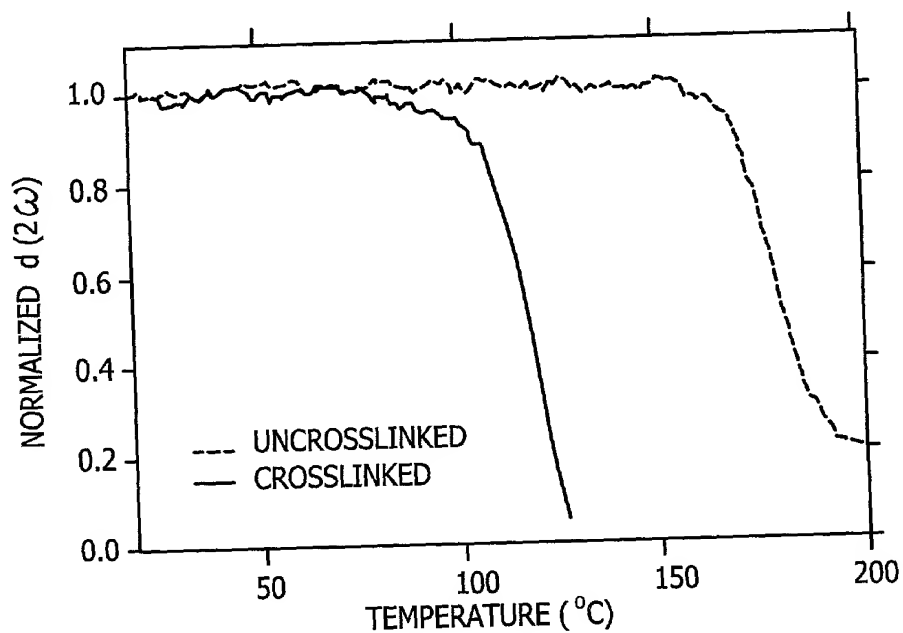
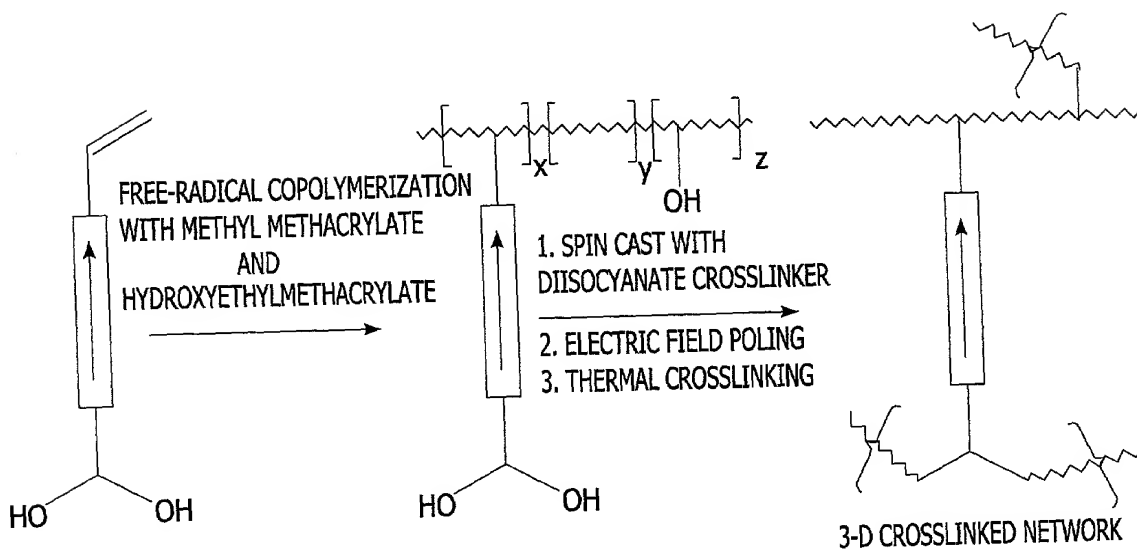


Fig. 44.

42/45

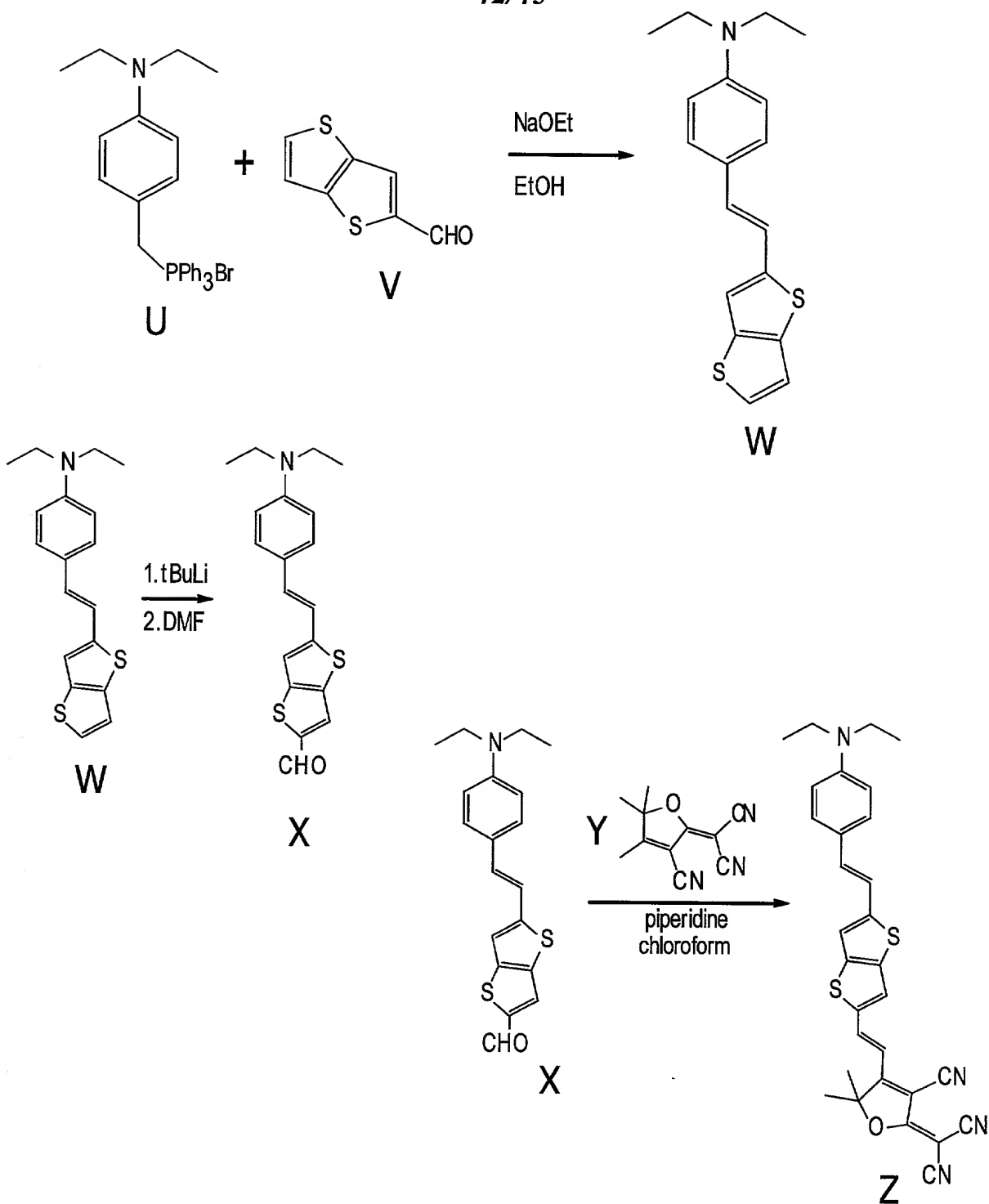


Fig. 45.

43/45

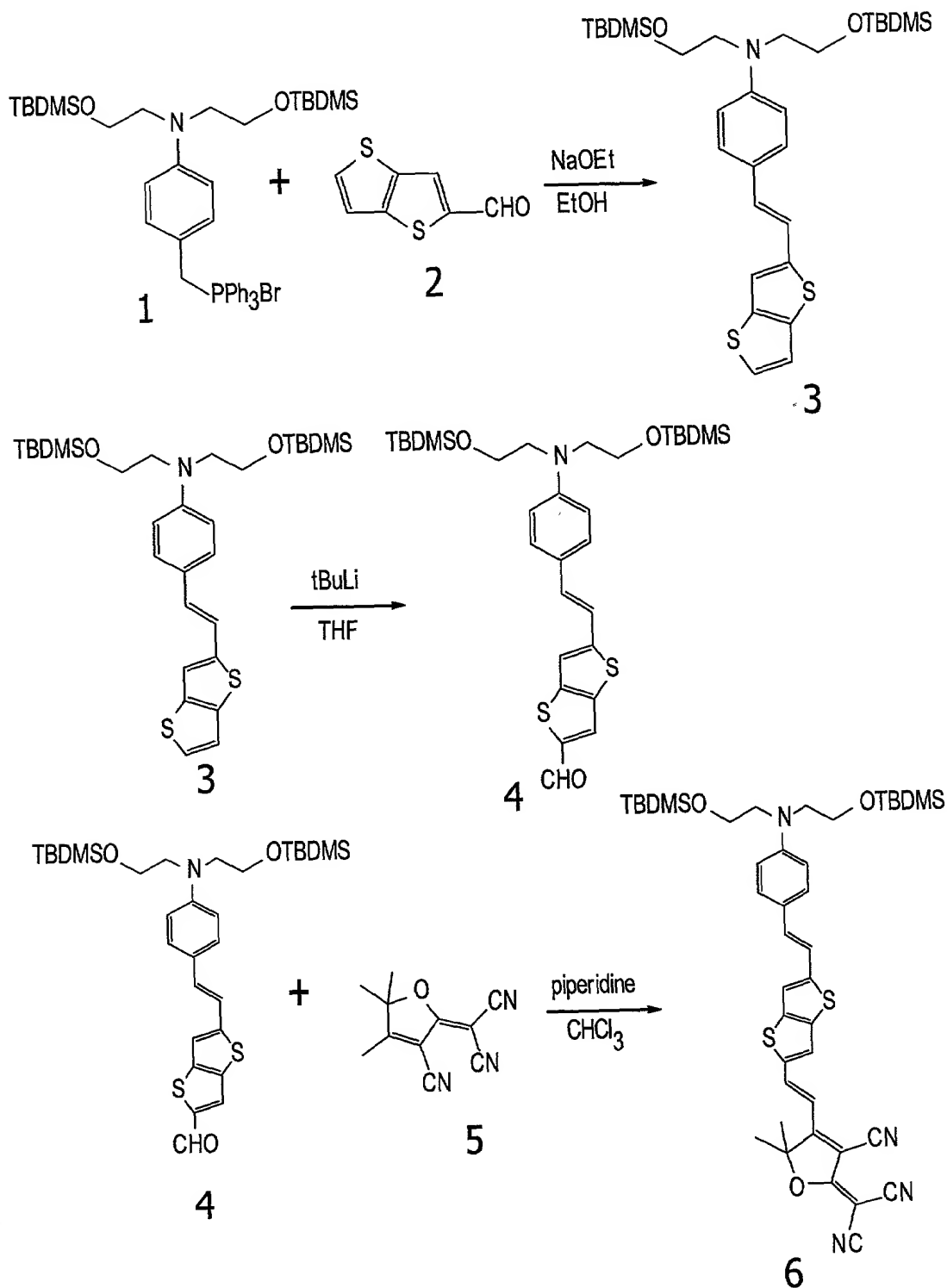


Fig. 46.

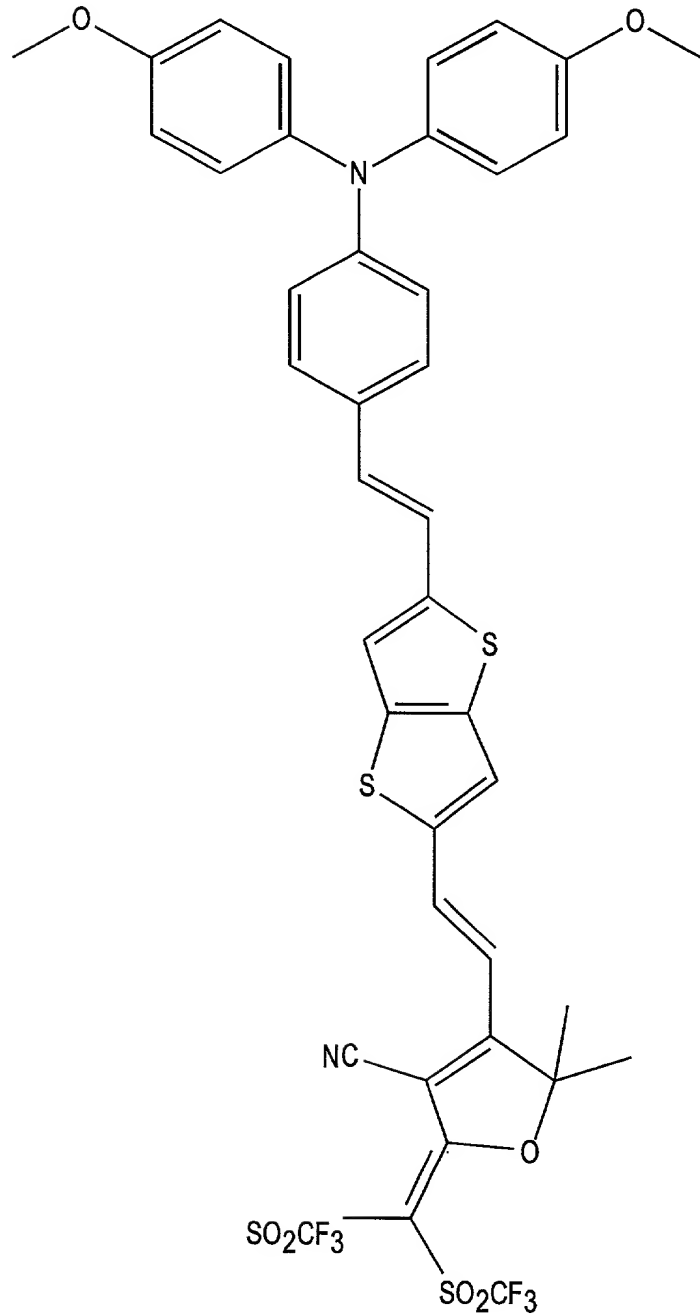


Fig.47.

45/45

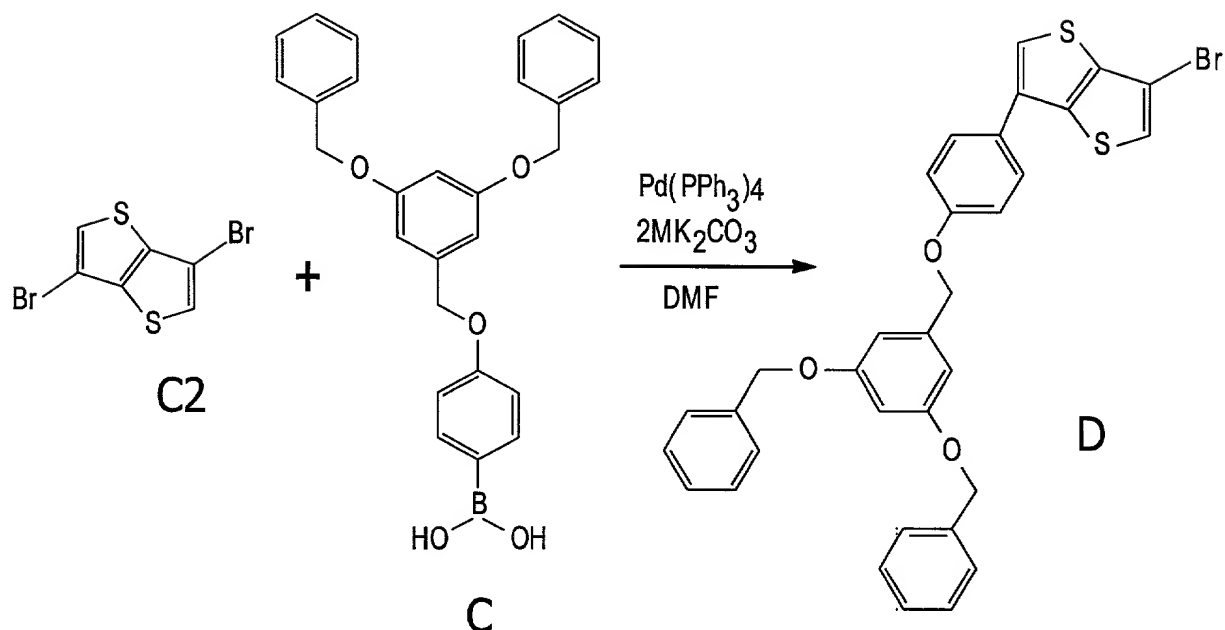
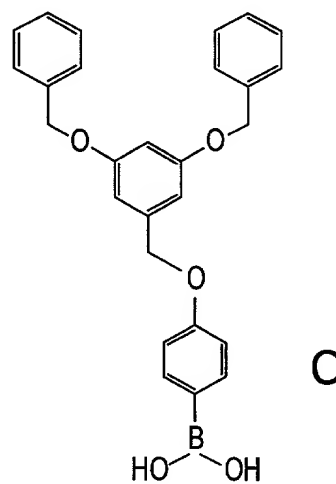
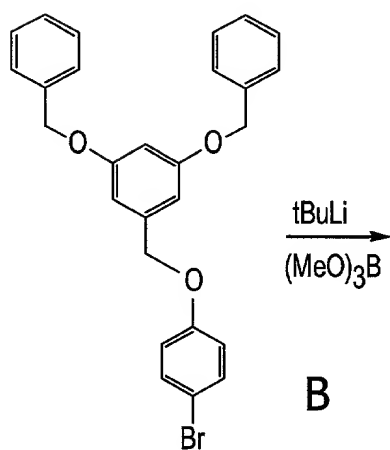
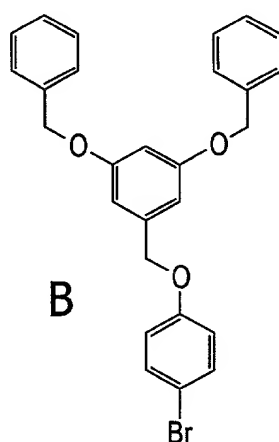
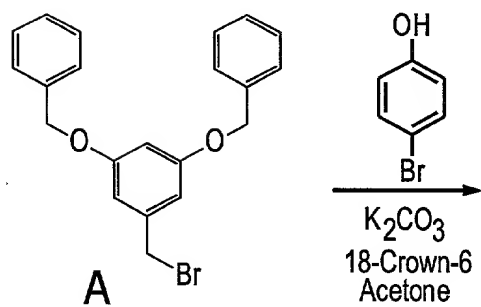


Fig. 48.